

Tesis de Licenciatura en Astronomía

**Estudio de la emisión en
Rayos-X
del cúmulo abierto NGC 6611**

Diego Altamirano

Directora: Dra. Virpi Niemela

Octubre de 2003

Facultad de Ciencias Astronómicas y Geofísicas
Universidad Nacional de La Plata

A mis abuelos...

Nona y Tata

Resumen

En este trabajo se analiza la emisión en rayos X del cúmulo abierto NGC 6611 (M16) y se la correlaciona con la emisión infrarroja y óptica con el fin de entender cuál es el mecanismo de emisión de rayos X.

El análisis consistió en la detección de fuentes de rayos X a partir de una imagen pública de 78.11 ks obtenida por el detector ACIS-I a bordo del satélite CHANDRA. Se detectaron 1294 fuentes, de las que 444 están por encima de 5σ de detección. Se obtuvo para cada una de estas fuentes la cantidad de fotones y su distribución de energía. Se determinaron las contrapartes ópticas e infrarrojas. Se realizaron diagramas color-color y color intensidad en infrarrojo y rayos X con el propósito de estudiar y comparar la distribución de las fuentes en dichos diagramas. Finalmente se estimaron los flujos intrínsecos de cada una de las fuentes en 4 bandas de energías: [0.3keV : 1.5keV], [1.5keV : 2.5keV], [2.5keV : 10keV] & [0.3keV : 10keV].

Este estudio nos permitió ver que aproximadamente el 78% de las fuentes que son emisoras de rayos X, también lo son en infrarrojo. Aproximadamente, el 87% de dichas fuentes ocupan las regiones esperadas para las estrellas TTau clásicas (CTTs¹), estrellas TTau débiles (WTTs²), estrellas Herbig Be/Ae y protoestrellas de Clase I, en los diagramas color-color en infrarrojo ($H - K$ vs $J - H$). El 13% restante ocupa la región esperada para las estrellas Be clásicas.

Además, el 15% de las fuentes en rayos X tienen contrapartes ópticas de las cuales se conocen los tipos espectrales sólo de la mitad de ellas. Los tipos

¹Claasic TTau stars

²Weak TTau stars

espectrales varían desde estrellas de tipo espectral $O5V$ hasta estrellas de tipo espectral $B8Ve$.

Índice General

1	Introducción	12
1.1	Síntesis histórica y misiones actuales de observaciones en el rango espectral de rayos X	12
1.2	Antecedentes	13
1.3	Objetivos	14
2	Material y métodos	16
2.1	Observaciones	16
2.2	Reducción de datos con CIAO	16
2.3	Detección de fuentes	18
2.3.1	Métodos de detección de fuentes	19
2.3.2	Celldetect	19
2.3.3	Vtpdetect	20
2.3.4	Wavdetect	20
2.4	Diagramas Color-Color y Color-Intensidad en Rayos X	29
3	Estudio de la relación entre la emisión en Infrarrojo y la emisión en Rayos X	29
3.1	Diagramas Color-Color & Color-Magnitud en IR	29
3.2	Correlación Cruzada	32
3.3	Diagramas color-color en el infrarrojo para fuentes con contrapartes en rayos X	37
3.3.1	Resultados:	41
3.4	Diagrama Color-Magnitud infrarrojas para fuentes con contrapartes ópticas	42
3.4.1	Resultados:	42

3.5	Diagramas color-color infrarrojo para fuentes con contrapartes ópticas y en rayos X	44
4	Estudio de la relación entre la emisión en Óptico y la emisión en Rayos X	46
4.1	Correlación cruzada	46
4.2	Relación entre identificación espectral y posición en los diagramas color-color y color-intensidad en Rayos X	48
4.2.1	Resultados	48
5	Flujo Intrínseco y Absorción Interestelar	51
5.1	Selección de fuentes	53
5.2	Espectros	53
5.2.1	Modelos	55
5.2.2	Ajuste de espectros	57
5.2.3	Modelos ficticios	61
5.2.4	Comparación de observaciones con modelos	64
5.3	Flujo intrínseco	66
6	Conclusiones	74
7	Apéndice:	76
7.1	La misión CHANDRA	76
7.2	Introducción al ajuste espectral	78
7.2.1	Suposición utilizada durante el trabajo	79
7.3	Correlación cruzada	79
7.3.1	Precisión de los datos con los que se trabajó en las secciones 3 y 4	81

7.3.2 Código Fortran utilizado para la correlación cruzada que se realizó en las secciones 3 y 4.	83
8 Agradecimientos	84
9 Referencias	86

Índice de Figuras

1	Distribución de las 1294 fuentes detectadas.	21
2	Histograma de Número de fuentes vs Número de cuentas	23
3	444 fuentes que cumplieron con el criterio de detección de 5σ	23
4	Diagrama color-color en X. Se muestra la distribución de las 444 fuentes con sus respectivas incertezas en los colores - Errores a $1\sigma \equiv 68\%$ de confianza.	30
5	Diagrama color-intensidad en X. Se muestra la distribución de las 444 fuentes con sus respectivas incertezas en el color y en la intensidad - Errores a $1\sigma \equiv 68\%$ de confianza.	30
6	Imagen en rayos X con superposición de contornos creados en una imagen infrarroja MAMA I SERC	31
7	Diagrama color-color infrarrojo para todas las fuentes del 2MASS (puntos) con contrapartes X en la banda $2. \leq \log(M/S) \leq 3$. (asteriscos). Las líneas punteadas son paralelas al vector de enrojecimiento (Rieke & Lebofsky - 1985). La línea continua representa a la secuencia principal (Hanson <i>et al.</i> - 1997). Las regiones esperadas para las estrellas T Tauri clásicas y débiles, estrellas Be clásicas, estrellas Herbig Be/Ae y las protostrellas de Clase I se obtuvieron del trabajo de Lada & Adams.	38
8	Idem figura 7 con contrapartes X en la banda $1. \leq \log(M/S) \leq 2$.	39
9	Idem figura 7 con contrapartes X en la banda $0. \leq \log(M/S) \leq 1$.	39
10	Idem figura 7 con contrapartes X en la banda $-1. \leq \log(M/S) \leq 0$.	40

11	Idem figura 7 con contrapartes X en la banda -2 . $\leq \log(M/S) \leq -1$.	40
12	Idem figura 7 con contrapartes X en la banda -3 . $\leq \log(M/S) \leq -2$.	41
13	Diagrama color-magnitud en infrarrojo con superposición de sus contrapartes ópticas con identificación espectral conocida. Con línea continua se esquematiza las magnitudes esperadas para estrellas de distintos tipos espectrales	43
14	Diagrama color-color en infrarrojo para fuentes con contrapartes óptica y en rayos X (asteriscos). Las líneas punteadas son paralelas al vector de enrojecimiento (Rieke & Lebofsky - 1985). La línea continua representa la secuencia principal.	45
15	Diagrama color-color en emisión X para fuentes con contrapartes ópticas he identificaciones espetrales. Se observa una tendencia de las estrellas más tempranas a ubicarse en las regiones más blandas del diagrama, mientras que las estrellas más tardías se encuentran en regiones más duras del diagrama. La fuente con número de identificación 569 no se encuentra presente debido a que el detector no obtuvo cuentas en la banda dura de su espectro.	49
16	Diagrama color-intensidad en emisión X para fuentes con contrapartes ópticas he identificaciones espetrales. Se observa una tendencia de las estrellas tempranas a ser más brillantes en rayos X, en comparación a las estrellas más tardías.La fuente con número de identificación 569 no se encuentra presente debido a que el detector no obtuvo cuentas en la banda dura de su espectro.	50

17	Distribución de las 8 fuentes que fueron seleccionadas para obtener las relaciones entre flujos observados y sus respectivos <i>count rates</i>	54
18	Espectros y ajustes de modelos utilizando combinaciones de los modelos explicados en la sección 5.2.1. En la tabla (6) se encuentran los detalles de dichos ajustes. Se muestran los espectros de las 8 fuentes seleccionadas, sus respectivos ajustes y errores. El error en el ajuste se encuentra en unidades de σ	59
19	Espectros y ajustes de modelos utilizando sólo la combinación de modelos “ <i>wabs + pow</i> ” (ver sección 5.2.1). En la tabla (8) se encuentran los detalles de dichos ajustes. Se muestran los espectros de las 8 fuentes seleccionadas, sus respectivos ajustes y errores. El error en el ajuste se encuentra en unidades de σ	60
20	<i>Count rates vs Flujos absorbidos</i> : se presentan las relaciones entre el flujo observado y los <i>count rates</i> , modeladas para cada estrella en cada una de las cuatro bandas ya definidas. En cada uno de los casos, se eligieron las mejores aproximaciones para obtener los flujos a partir de los respectivos <i>count rates</i>	63
21	Comparación entre observaciones y modelos. Las dos curvas punteadas representan al modelo de ley de potencias con densidades columnares de $0.2 \times 10^{22} \text{ cm}^{-2}$ (1) y $2 \times 10^{22} \text{ cm}^{-2}$ (2). Ambas curvas se hacen más positivas en el diagrama a medida que γ decrece ($5 \leftarrow \gamma \rightarrow -3$). Las dos curvas continuas representan al modelo de cuerpo negro con densidades columnares de $0.2 \times 10^{22} \text{ cm}^{-2}$ (3) y $2 \times 10^{22} \text{ cm}^{-2}$ (4). La curva se hace más positiva a medida que la temperatura aumenta ($0.2\text{keV} \leftarrow kT \rightarrow 8\text{keV}$)	65

22	Diagrama color-color en rayos X. Las 5 curvas representan al modelo “ <i>wabs + pow</i> ” para densidades columnares de $NH = 0.2 \times 10^{22} cm^{-2}$ (1), $NH = 0.7 \times 10^{22} cm^{-2}$ (2), $NH = 1.2 \times 10^{22} cm^{-2}$ (3), $NH = 1.7 \times 10^{22} cm^{-2}$ (4) & $NH = 2.2 \times 10^{22} cm^{-2}$ (5).	67
23	Características de la cámara ACIS	77

Índice de Tablas

1	Características del cúmulo abierto NGC 6611.	15
2	Datos observacionales	24
3	Contrapartes IR y datos observacionales.	33
4	Fuentes en rayos X con contrapartes ópticas. Datos observacionales ópticos obtenidos de Hillenbrand <i>et al.</i> (1993).	47
5	Fuentes en rayos X con contrapartes ópticas para las cuales se conoce el tipo espectral. Los tipos espectrales y las magnitudes V, B-V y U-B fueron obtenidas del trabajo de Hillenbrand <i>et al.</i>	48
6	Características de las fuentes seleccionadas: se muestran las cuentas con su error a 1σ	53
7	Características de las fuentes seleccionadas: el modelo que se utilizó para ajustar sus espectros y los parámetros de dichos espectros. También se muestra el valor de χ^2 que se obtuvo respectivamente. Por último, se muestra el tipo espectral de las contrapartes ópticas conocidas.	58
8	Características de las fuentes seleccionadas: los parámetros NH y γ de los modelos <i>wabs</i> y “ley de potencias” respectivamente. También se muestra el valor de χ^2 que se obtuvo. Por último, se muestra el tipo espectral de las contrapartes ópticas conocidas.	58

9	Grilla utilizada para estimar los flujos intrínsecos a partir de los flujos absorbidos. Para el modelo “wabs +pow”, la tabla relaciona el flujo observado para distintos valores de NH, con el flujo intrínseco modelado ($NH = 0$) según las distintas bandas y los valores de γ posibles. Los flujos se encuentran en unidades de [$erg \cdot cm^{-2} \cdot s^{-1}$]	68
10	Flujos Absorbidos vs Flujos Intrínsecos. Los flujos se encuentran en unidades de [$erg \cdot cm^{-2} \cdot s^{-1}$]	70
11	Programa Fortran utilizado en las secciones (3.2) y (4.1) . . .	83

1 Introducción

1.1 Síntesis histórica y misiones actuales de observaciones en el rangopectral de rayos X

En la década del '60 se iniciaron, con detectores a bordo de cohetes, las observaciones de objetos astronómicos en el rango de longitudes de onda de rayos X, los que se perfeccionaron en los años siguiente con los primeros detectores a bordo de satélites (Uhuru, SAS3, Ariel5, etc). Nuevas e importantes exploraciones se realizaron a principios de los años '80 (HEAO-1, Einstein, EXOSAT y Ginga). Los resultados científicos, y en particular, las primeras imágenes obtenidas por el satélite Einstein, promovieron nuevas corrientes de investigaciones astronómicas. Con estas observaciones se descubrió, por ejemplo, que la gran mayoría de los objetos astronómicos, desde cometas hasta quasares, emiten rayos X. El relevamiento realizado en los '90 por el satélite ROSAT detectó más de 100.000 objetos que emitían rayos X. La misión ASCA pudo efectuar las primeras medidas de sus espectros y el satélite RXTE estudió la intensidad de la emisión en función del tiempo (estudios de variabilidad).

Desde el año 2000, con la superior resolución angular y sensibilidad de las nuevas cámaras a bordo de los satélites Chandra y XMM-Newton, siguen acumulándose nuevas observaciones en el rango espectral de rayos X en distintas regiones del firmamento. Particular importancia han tenido los estudios de Cúmulos Abiertos y Regiones de Formación Estelar que contribuyeron a una mejor comprensión de los complicados procesos que existen en aquellas regiones del espacio. Sin embargo, todavía quedan muchas incógnitas por resolver, como por ejemplo, el origen de la radiación X de las estrellas masivas, la naturaleza de las múltiples fuentes de radiación X en las regiones

de formación estelar, etc. Para resolver estas incógnitas, se necesitan observaciones de muchos cúmulos jóvenes y regiones de formación estelar a fin de tener una base de datos estadísticamente significativa.

1.2 Antecedentes

De los resultados de los análisis de observaciones de cúmulos jóvenes realizados en el rango espectral de rayos X, hasta el presente se destacan:

1. **Nebulosa de Carina.** Es una región HII gigante que se extiende por más de 50pc y que tiene una densa población de objetos jóvenes. Se trata de una mezcla complicada de varios cúmulos estelares que varían en edades y estados evolutivos. Existen varias estrellas masivas O3V y estrellas Wolf-Rayet de post-secuencia principal, además del sistema eruptivo η Carina. Esta fue la región donde se descubrió, con las primeras imágenes en el rango de rayos X, que las estrellas del tipo O son fuentes de emisión de rayos X (ver Corcoran *et al.*). Parte del complejo ahora ha sido observado con XMM-Newton y Chandra. Se pudo descubrir de este modo la emisión difusa de rayos X a gran escala³ ($> 5pc$). Evans *et al.* (2003) examinaron los datos del satélite Chandra y concluyeron que más de la mitad de la emisión en rayos X se debía a una componente difusa.
2. **Arches Cluster.** Es uno de los tres cúmulos estelares más masivos y obscurecidos que se encuentran dentro de los 100 pc del centro galáctico. Una exposición de 51ks registrada por las cámaras a bordo del satélite Chandra, muestra una compleja morfología donde la mayor parte de la emisión en rayos X proviene de dos estructuras dentro del núcleo, que

³ver Dorland & Montmerle 1987

pueden deberse a la colisión de vientos estelares en sistemas binarios, o a la presencia de frentes de choque extendidos originados en el viento estelar (Yusef-Zadeh *et al.* 2002). Una tercera componente con $L_x = 1.6 \times 10^{34} \text{ erg s}^{-1}$, se extiende claramente a varios parsecs de la asociación estelar.

3. **NGC 3603.** Se trata de un denso, luminoso y masivo cúmulo estelar ubicado a una distancia de ~ 9 kpc en el brazo espiral de Carina. Una imagen de 50ks del satélite Chandra muestra la emisión difusa (dura) con un rango de energías que van desde $kT = 2$ keV hasta $kT = 3$ keV. Se han detectado además más de 400 fuentes puntuales (Moffat *et al.* 2002). La componente difusa coincide espacialmente con el núcleo del cúmulo.
4. **RCW 38.** La ionización de RCW 38 está dominada por la estrella del tipo O5, IRS 2. En una observación de 97ks de Chandra de esta región HII brillante, se ha detectado tanto emisión difusa dura como blanda (Wolk *et al.* 2002). Los autores ajustan la emisión de rayos X de la región HII con un modelo que combina una ley de potencias con una emisión térmica de Bremsstrahlung. Los autores atribuyen la componente blanda de Bremsstrahlung a la emisión de rayos X dispersada por el polvo, y la componente dura de la ley de potencias, a algún proceso magnético no térmico (emisión sincrotrónica).

1.3 Objetivos

El objetivo de nuestra investigación es el estudio de la emisión de rayos X de la **Nebulosa del Águila (M16)** que contiene el cúmulo abierto muy joven NGC 6611. Una imagen con un tiempo de exposición de 77ks del satélite

Chandra revela más de 1000 fuentes puntuales asociados con el cúmulo NGC 6611. Hillenbrand *et al.* (1993) han hecho un estudio cuidadoso de la distribución de las fuentes en el rango óptico e infrarrojo, aportando importante información referente a la población de estrellas tipo TTauri y Herbig Ae/Be de la región. No obstante, hasta el momento, no se han realizado trabajos profundos sobre la naturaleza de la emisión en rayos X de este cúmulo. NGC6611 es una región de formación estelar ideal para estudios en rayos X debido a que contiene una gran variedad de objetos como por ejemplo, proto-estrellas de Clase I, estrellas T Tauri Clásicas (CTTs) y estrellas T Tauri débiles (WTTs), estrellas Herbig Ae/Be y estrellas O con distintas clases de luminosidad. Debido a esta complejidad, es importante estudiar cuál es el mecanismo que produce la emisión en rayos X de este cúmulo joven y cuál es la relación, si es que existe, entre la emisión en rayos X y la emisión en los rangos óptico e infrarrojo.

Ascención recta (2000):	18 18 48
Declinación (2000):	-13 48 24
Distancia:	≈ 2 kpc
Ley de Enrojecimiento (R)	3.75
Módulo de distancia	11.5

Tabla 1: Características del cúmulo abierto NGC 6611. Datos obtenidos de Hillenbrand *et al.*

2 Material y métodos

2.1 Observaciones

El satélite Chandra registró una imagen de NGC6611 el 30 de Julio de 2001 a las 18:53:56 UT (Obeid 978) con un tiempo de exposición de 78.11 ks . El registro fue obtenido en modo VFaint con una velocidad de lectura de 3.2 segundos y utilizando la cámara ACIS-I como detector principal. La cámara ACIS-I está constituida por cuatro CCDs de iluminación frontal de 1024x1024 pixeles cada uno. El tamaño de cada pixel es de $\sim 0.492''$. El campo de visión combinado (FoV) de los cuatro CCDs es de aproximadamente 16.9'x 16.9'. El punto de referencia de la imagen fue de RA: 18:18:44.72 y Dec: -13:47:56.50. Mayores detalles e información sobre este instrumento puede encontrarse en el “Chandra Proposer’s Observatory Guide (POG)” que se halla disponible, a través de Internet, en la página del *Chandra X-ray Center*⁴

2.2 Reducción de datos con CIAO

La reducción de datos estuvo basada en los archivos de Nivel 1 (Level 1 files) los cuales fueron generados utilizando los procesos estándares por el Chandra X-ray Center. Luego se utilizaron procedimientos estándares para la reducción de datos para imágenes obtenidas con la cámara ACIS utilizando el software CIAO (Chandra Interactive Analysis of Observations) versión 2.3⁵.

La reducción de datos utilizando CIAO incluyó⁶

1. Establecer los Archivos de Pixeles Malos.

⁴<http://cxc.harvard.edu/proposer/POG/>

⁵<http://asc.harvard.edu/ciao/>

⁶http://cxc.harvard.edu/ciao/guides/acis_data.html

2. Crear un archivo de eventos de Nivel 2 (*Event 2 file*) combinando los siguientes pasos:

(a) Aplicación de las correcciones de aspecto (*Aspect Corrections*).

Existen importantes diferencias operacionales entre las imágenes obtenidas por los telescopios de rayos X y aquéllas obtenidas por los telescopios ópticos. Un telescopio óptico generalmente sigue a su “fuente blanco”, y acumula cuentas en una imagen. Cualquier variación o perturbación en la dirección de observación degradará la calidad de la imagen final. Por el otro lado, la dirección de observación de un telescopio de rayos X varía levemente con el tiempo y por lo tanto va “borroneando” la imagen de la “fuente blanco” sobre diferentes partes del detector. Luego, la imagen es reconstruida mediante el ajuste de las posiciones de cada fotón teniendo en cuenta la dirección de observación exacta del satélite en el momento en el que el fotón arribó al CCD. Esto es lo que se denomina *Aspect correction*.

(b) Aplicación de la corrección por ineficiencia en transferencia de carga (CTI⁷)

La pérdida de carga a medida que ella se va moviendo de un pixel al siguiente durante el proceso de lectura del CCD, es conocida como “Ineficiencia en transferencia de carga (CTI)” y puede ser corregida por procesos estándares sugeridos por el *Chandra X-ray Center*.

(c) Aplicación de un mapa de Ganancia (*ACIS Gain Map*)

El mapa de ganancia es utilizado para calcular la energía y el *PI*

⁷Charge Transfer Inefficiency

$(PI = [(energía/14.6eV) + 1])$ a partir del valor del *PHA* (*Pulse Height Amplitude*⁸)

(d) Limpieza de la emisión de fondo en modo VFAINT

En modo VFAINT, se utilizan los pixeles alrededor de un pixel dado, para distinguir entre buenos y malos eventos, siendo estos últimos, generalmente asociados con rayos cósmicos. Un evento es considerado como potencialmente malo si uno o más pixeles de la vecindad muestran cierto tipo de patrón conocido.

3. Crear un archivo de eventos de nivel 2 *Event 2 file* con un rango de energía entre 0.3 keV y 10 keV

2.3 Detección de fuentes

Se confeccionó una imagen de 2800 x 2800 pixeles (0.492" c/pixel) utilizando el archivo de eventos de nivel 2 (creado según lo descripto en la sección anterior). Se elaboraron curvas de luz de distintas regiones del fondo para determinar si existían grandes fluctuaciones que pudieran ser el resultado de fulguraciones solares (*Solar Flares*). Las curvas de luz no mostraron fluctuaciones apreciables. Luego se confeccionaron cuatro imágenes, a partir de la imagen original, que representan las cuatro bandas con las que se trabajó durante el resto de la investigación, a saber:

(a). **Blanda (soft):** $0.3\text{Kev} \leq \text{Energía} \leq 1.5\text{Kev}$

(b). **Media (medium):** $1.5\text{Kev} \leq \text{Energía} \leq 2.5\text{Kev}$

(c). **Dura (hard):** $2.5\text{Kev} \leq \text{Energía} \leq 10\text{Kev}$

⁸Un *PHA* es una unidad de ingeniería que describe la cantidad de carga total por pixel de un evento recogido por el detector.

(d). **Total o completa (full):** $0.3\text{Kev} \leq \text{Energía} \leq 10\text{Kev}$

2.3.1 Métodos de detección de fuentes

Existen tres rutinas de detección de fuentes accesibles a través del paquete de detección de CIAO, a saber:

1. **Celldetect:** este método utiliza una célula de detección cuadrada de tamaño fijo que se desplaza por la matriz de eventos buscando realces estadísticos significativos sobre el fondo. Esta herramienta es útil y precisa para campos con fuentes puntuales con cierta separación mínima.
2. **Vtpdetect:** esta rutina utiliza el método de “*Voronoi tessellation*” para determinar densidades individuales, o flujos para pixeles muy ocupados. Luego, la herramienta analiza la distribución de densidades para realces significativos. Esta es la única herramienta que es independiente de la escala.
3. **Wavdetect:** este método correlaciona la imagen con funciones “*wavelets*” de diferentes escalas (que pueden ser seleccionadas por el usuario) y luego busca correlaciones significativas en los resultados.

Para mayor información sobre alguna de las rutinas anteriores y para una comparación más profunda entre los distintos métodos, se encuentra disponible el manual de detección de fuentes proporcionado por el *Chandra X-ray Center* en http://cxc.harvard.edu/ciao/download/doc/detect_html_manual/

2.3.2 Celldetect

El primer intento de detección de fuentes de rayos X se basó en la utilización de la rutina Celldetect. En primer lugar, se utilizaron los parámetros suge-

ridos en las recetas brindadas por el *Chandra X-ray Center*. Se procesaron cada una de las cuatro imágenes: Soft, Medium, Hard & Full. El resultado de cada una de las imágenes fue diferente. No se continuó en la elaboración de una lista única debido a que, a través de una inspección visual, se pudo apreciar que esta rutina no producía una buena detección de las fuentes en las zonas densas del cúmulo. Por el contrario, tendía a detectar un gran número de fuentes, una al lado de otra, de tal forma que cubrían toda el área de mayor densidad. Se intentó cambiar algunos parámetros, pero tampoco se consiguió una mejor detección.

2.3.3 Vtpdetect

El segundo intento consistió en la utilización de la rutina Vtpdetect. Al igual que en el caso del Celldetect, las regiones que representaban cada una de las fuentes se ubicaban una al lado de la otra de manera de cubrir la parte densa del cúmulo. Por esta razón se desecharon los resultados obtenidos.

Lo aconsejable fue entonces proseguir con la utilización de la rutina *wavdetect*, la cual es mucho más eficiente que Celldetect y Vtpdetect, pero al mismo tiempo, los cálculos que realiza son más complejos y laboriosos, y por lo tanto, los tiempos de cálculo necesarios son mucho mayores⁹.

2.3.4 Wavdetect

Debido al gran requerimiento computacional que demanda esta rutina y para utilizar más eficientemente los recursos, se debió dividir cada una de las cuatro imágenes en cuatro partes iguales. Cada una de las partes, representaba cada uno de los CCDs que componen la cámara ACIS-I. Se obtuvo de este modo, una lista de fuentes de cada subimagen. Luego se confeccionó una lis-

⁹ver cuadros comparativos en http://cxc.harvard.edu/ciao/threads/detect_overview/

ta de fuentes detectadas para cada imagen completa. Es importante indicar que la rutina señalada fue utilizada, para cada una de las 16 subimágenes con factor de escalas 2, 4, 6 y 8 (escalas de tamaño de los *wavelets* con forma de “Sombreros Mejicanos”) y con una probabilidad de falsa alarma de 10^{-4} detecciones¹⁰. Este último parámetro nos dice que estadísticamente 1 fuente de cada 100000 es falsa.

Luego de la detección inicial, se obtuvo una lista final donde estuvieran todas las fuentes que habían sido detectadas en las bandas Soft, Medium y Hard además de la banda Full. La lista final se confeccionó visualmente comparando los resultados en las diferentes bandas utilizando el programa DS9¹¹ e incluyendo una detección si aquella aparecía en alguna de las cuatro listas antes mencionadas. La lista final incluyó 1294 fuentes (Figura 1).

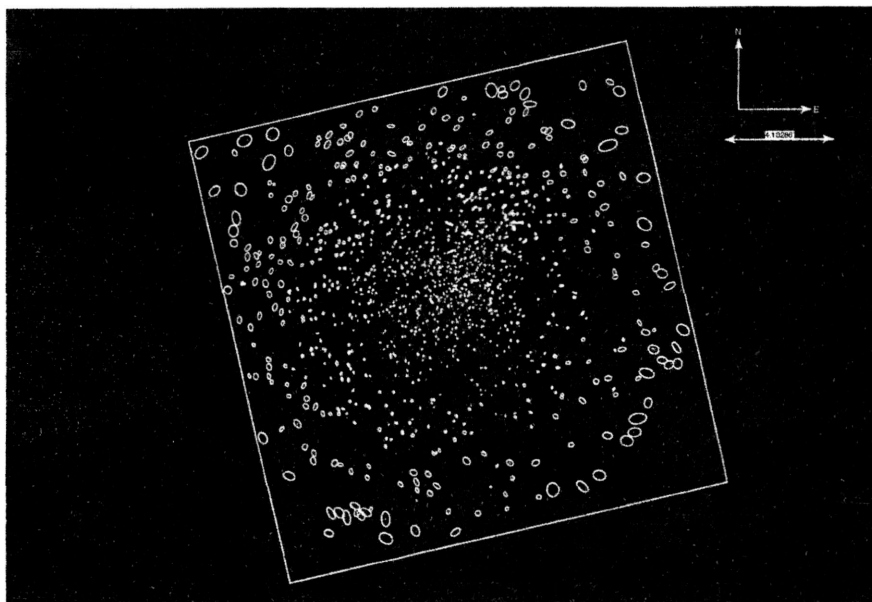


Figura 1: Distribución de las 1294 fuentes detectadas.

¹⁰“A Wavelet Based Algorithm for the Spatial Analysis of Poisson Data” (P. E. Freeman et al. 2002, ApJS, 138, 185)

¹¹<http://www.randomfactory.com/lfa/ds9-info.html>

A continuación, se obtuvo la cantidad de cuentas netas (*Net-counts*) y su error (*Error-net-counts*) para cada una de las fuentes y en cada una de las cuatro bandas, restando el número promedio de cuentas que tiene el fondo del número de cuentas de cada fuente. Los errores son calculados utilizando la aproximación de Gehrels¹²

$$error = 1 + \sqrt{N + 0.75} \quad (1)$$

siendo N el número de cuentas netas. Se utilizó el programa *dmextract* de CIAO¹³.

Se confeccionó un histograma (Figura 2) para visualizar lo brillantes que eran las detecciones. Lamentablemente, los resultados no fueron muy satisfactorios, como se consigna a continuación:

Se utilizó un criterio de detección de 5σ basado en las cuentas netas y sus errores para determinar si las detecciones correspondían a fuentes reales o espurias. El proceso se realizó sobre cada una de las cuatro bandas. Se consideró como real la detección que superaba el test de 5σ en alguna de las 4 bandas.

Se puede suponer una actitud conservadora en la utilización de 5σ , sin embargo, la lista final consistió en 444 fuentes distribuidas en toda el área de la cámara ACIS-I (Figura 3).

En la tabla 2 se muestran los datos de las 444 fuentes que superaron el criterio de detección de 5σ . A saber:

Columna (1): Número de identificación que se le otorgó a cada fuente una vez que se había obtenido la lista final de 1294 fuentes;

¹²Si el número de cuentas en cada canal es chico (< 5), entonces no se puede asumir que la distribución de Poisson de las cuentas muestreadas tenga una forma aproximadamente Gaussiana. La desviación estándar ya no será \sqrt{N} , sino que para pocas cuentas, la varianza estará dada por la ecuación (1) derivada por Gehrels (1986ApJ...303..336G)

¹³<http://cxc.harvard.edu/ciao/ahelp/dmextract.html>

Figura 2: Histograma de Número de fuentes vs Número de cuentas. Los canales fueron definidos con 100 cuentas/canal.

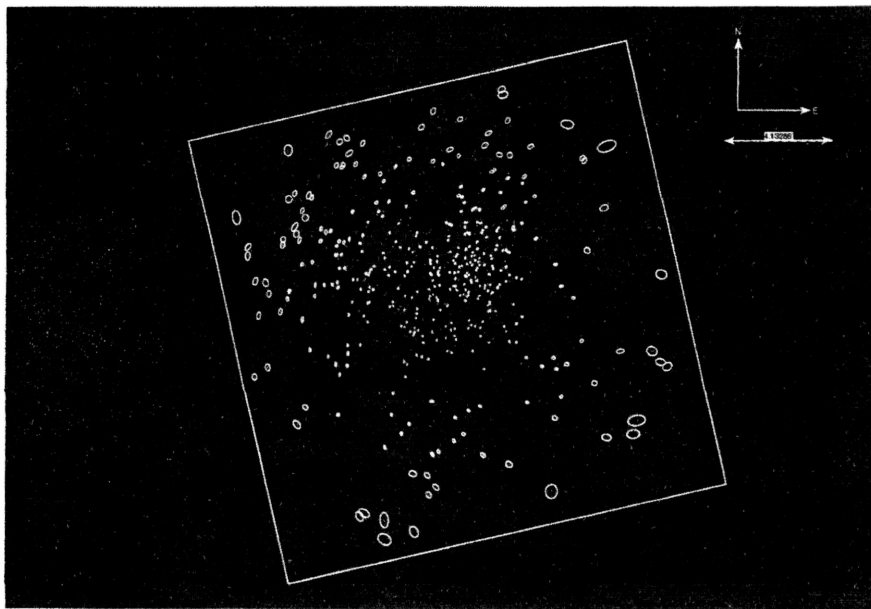
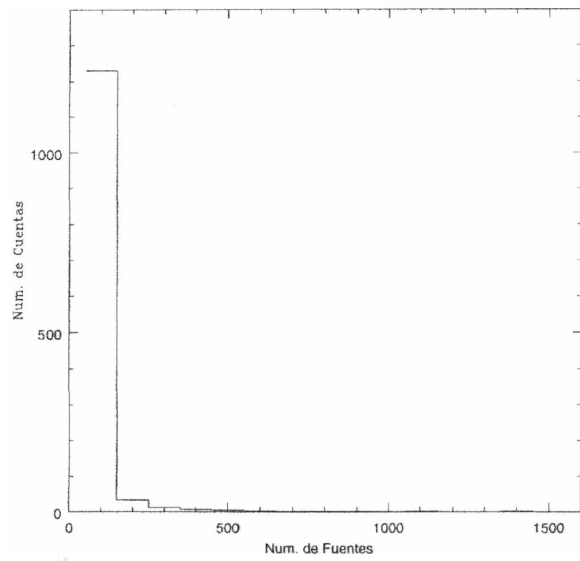


Figura 3: 444 fuentes que cumplieron con el criterio de detección de 5σ

2.4 Diagramas Color-Color y Color-Intensidad en Rayos X

En la sección anterior, se indica cómo se obtuvieron las cuentas netas de cada una de las fuentes en cada una de las bandas. Se confeccionaron diagramas color-color y color intensidad de las 444 fuentes de la lista final (ver sección 2.3.4 para más detalles sobre la lista final). Las durezas espectrales (o colores) fueron definidas como la razón del número de cuentas entre dos bandas distintas, utilizando en nuestro caso, las durezas

$$H/S = \frac{\text{Número de fotones con energías en la banda hard}}{\text{Número de fotones con energías en la banda soft}} \quad (2)$$

$$M/S = \frac{\text{Número de fotones con energías en la banda medium}}{\text{Número de fotones con energías en la banda soft}} \quad (3)$$

Definimos Intensidad como la suma del número total de fotones recibidos de cada fuente en cada una de las tres bandas:

$$\text{Intensidad (I)} = \text{Número de fotones con energías en la banda full} \quad (4)$$

En la figura 4, se grafican las 444 fuentes de la lista final en un diagrama color-color en emisión X y en la figura 5 se grafican las mismas en un diagrama color-intensidad en X.

3 Estudio de la relación entre la emisión en Infrarrojo y la emisión en Rayos X

3.1 Diagramas Color-Color & Color-Magnitud en IR

Primero se quiso ver si a simple vista existían fuentes que emitieran tanto en rayos X como en infrarrojo. Se confeccionó una imagen, utilizando e

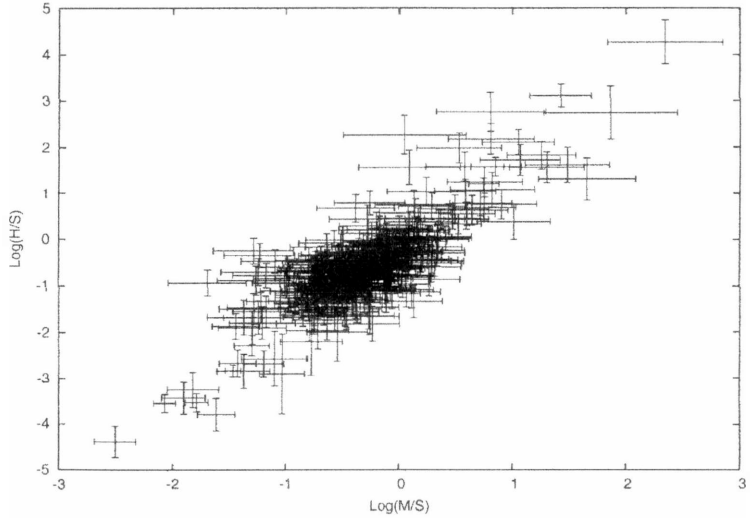


Figura 4: Diagrama color-color en X. Se muestra la distribución de las 444 fuentes con sus respectivas incertezas en los colores - Errores a $1\sigma \equiv 68\%$ de confianza.

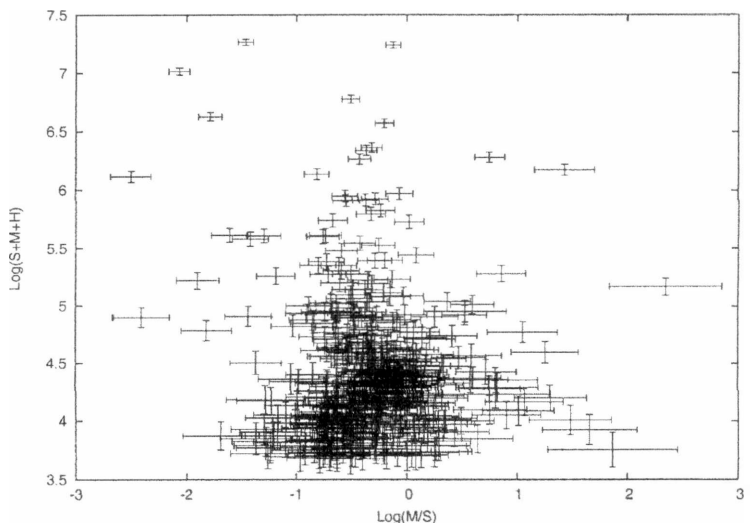


Figura 5: Diagrama color-intensidad en X. Se muestra la distribución de las 44 fuentes con sus respectivas incertezas en el color y en la intensidad - Errores $1\sigma \equiv 68\%$ de confianza.

programa Aladin¹⁴, donde se superponen los contornos obtenidos de una imagen en infrarrojo sobre la imagen en rayos X. Se puede observar que las fuentes más brillantes en la imagen infrarroja tienen emisión en rayos X.

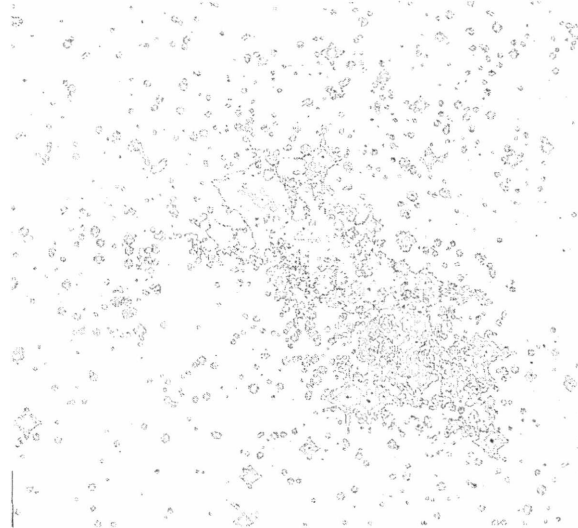


Figura 6: Imagen en rayos X con superposición de contornos creados en una imagen infrarroja MAMA I SERC

De la página de VizieR¹⁵ se obtuvieron todas las fuentes del 2MASS (*Two Micron All Sky Survey, catálogo II/246*) que se encontraban en el campo de 17'x17' de la imagen en rayos X del satélite Chandra. Dado que esta lista incluye tanto fuentes pertenecientes al cúmulo, como fuentes ubicadas por delante y por detrás de éste (y no asociadas al cúmulo), nuestro primer paso fue confeccionar diagramas color-color y color-magnitud para poder realizar un estudio del comportamiento general de todas las fuentes.

Se estudió el comportamiento de:

- (a). La distribución de nuestras fuentes X en los diagramas color-color en IR.

¹⁴<http://aladin.u-strasbg.fr/aladin.gml>

¹⁵<http://cdsweb.u-strasbg.fr/viz-bin/VizieR?-source=II/246>

- (b). La variación de dicha distribución en función de la dureza de las fuentes de rayos X.
- (c). Las regiones que ocupan nuestras fuentes X en los diagramas color-color en IR y si ellas se correspondían con regiones conocidas y estudiadas.
- (d). Las fuentes que emiten en infrarrojo, óptico y rayos X y su posición en los diagramas color-color y color-intensidad.

3.2 Correlación Cruzada

Utilizando la tabla obtenida de la base de datos del 2MASS, se escribió un código en lenguaje Fortran con el que se pudiera realizar una correlación cruzada con la tabla que contenía las coordenadas de nuestras fuentes en rayos X (ver 2.3.2.). Se consideraron contrapartes infrarrojas a todas aquellas fuentes que se encontraron a una distancia angular menor a 2 segundos de arco (ver sección 7.3). Como resultado, de nuestras 444 fuentes en rayos X, 372 de ellas tienen contra-parte infrarroja, aproximadamente el 90% se detectaron a distancias menores a 1 segundo de arco, y 7 de ellas mostraban contrapartidas múltiples en el infrarrojo. En la tabla 3 se muestran:

Columna (1): Número de identificación que se le otorgó a cada fuente una vez que se había obtenido la lista final de 1294 fuentes X;

Columnas (2) y (3): Ascensión recta (RA) y declinación (DEC) en la época J2000 en unidades sexagesimales.

Columna (4): Diferencia entre las coordenadas de las fuentes en rayos X y las coordenadas de las contrapartes infrarrojas;

Columnas (5), (6) y (7): Magnitudes en las bandas J, H y K (2MASS).

de arco.

3.3 Diagramas color-color en el infrarrojo para fuentes con contrapartes en rayos X

Para un mejor entendimiento de la distribución de fuentes de rayos X en los diagramas color-color y color-intensidad en infrarrojo, dividimos nuestra lista de fuentes en rayos X en 6 grupos diferentes de acuerdo a la dureza en su emisión. Ellas se ordenaron siguiendo las siguientes reglas (de más dura a más blandas):

$$2. \leq \log(M/S) \leq 3. \text{ (Figura 7) } \quad -1. \leq \log(M/S) \leq 0. \text{ (Figura 10) }$$

$$1. \leq \log(M/S) \leq 2. \text{ (Figura 8) } \quad -2. \leq \log(M/S) \leq -1. \text{ (Figura 11) }$$

$$0. \leq \log(M/S) \leq 1. \text{ (Figura 9) } \quad -3. \leq \log(M/S) \leq -2. \text{ (Figura 12) }$$

Las figuras 7 a 12 muestran los diagrama color-color infrarrojo para todas las fuentes del 2MASS (puntos) con contrapartes X en las distintas bandas recien definidas (asteriscos). Las líneas punteadas son paralelas al vector de enrojecimiento (Rieke & Lebofsky - 1985). La línea continua representa la secuencia principal (Hanson *et al.* - 1997). Las regiones esperadas para las estrellas T Tauri clásicas y débiles, estrellas Be clásicas, estrellas Herbig Be/Ae y las proto-estrellas de Clase I se obtuvieron del trabajo de Lada & Adams.

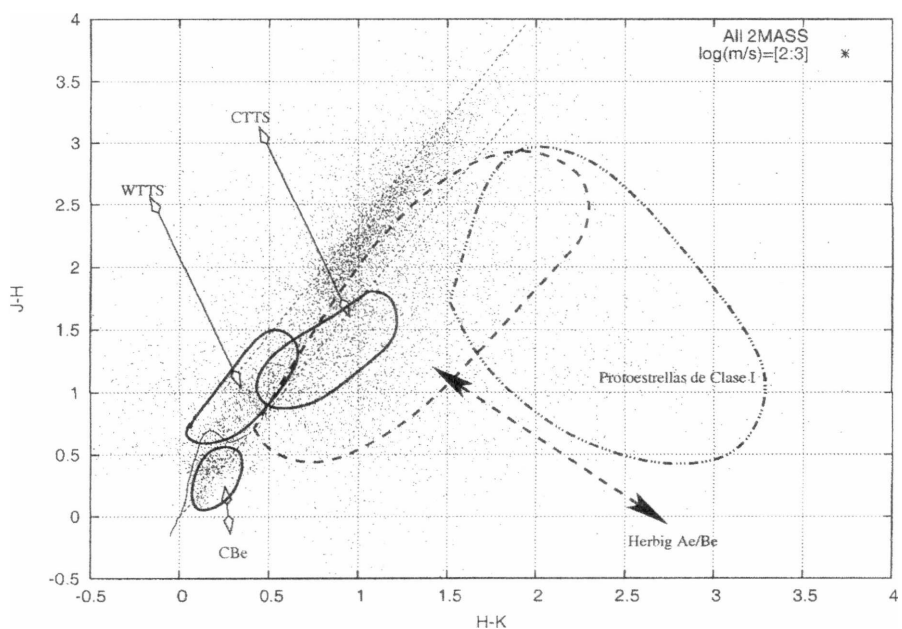


Figura 7: Diagrama color-color infrarrojo para todas las fuentes del 2MASS (puntos) con contrapartes X en la banda 2. $\leq \log(M/S) \leq 3$. (asteriscos). Las líneas punteadas son paralelas al vector de enrojecimiento (Rieke & Lebofsky - 1985). La línea continua representa a la secuencia principal (Hanson *et al.* - 1997). Las regiones esperadas para las estrellas T Tauri clásicas y débiles, estrellas Be clásicas, estrellas Herbig Be/Ae y las proto-estrellas de Clase I se obtuvieron del trabajo de Lada & Adams.

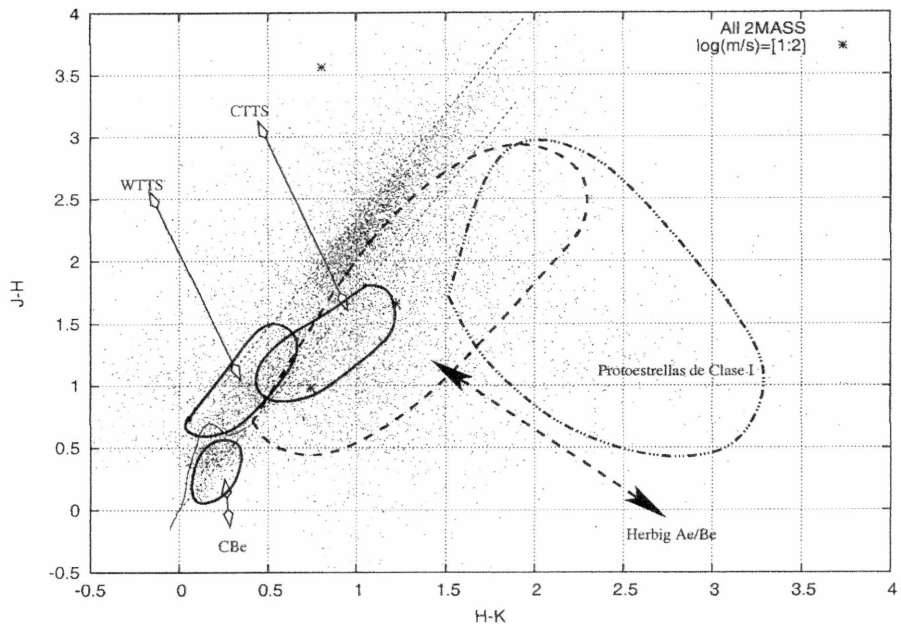


Figura 8: Idem figura 7 con contrapartes X en la banda $1. \leq \log(M/S) \leq 2$.

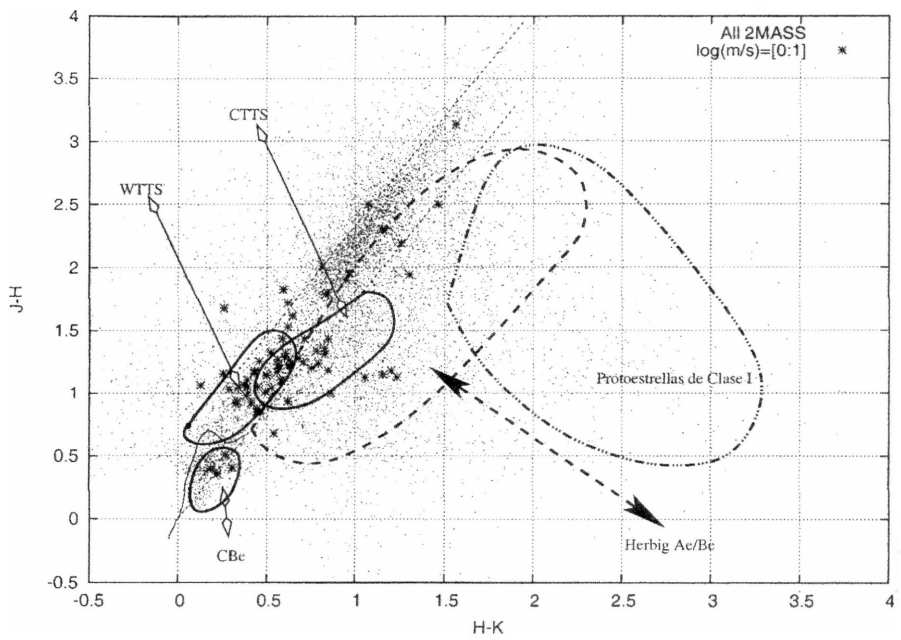


Figura 9: Idem figura 7 con contrapartes X en la banda $0. \leq \log(M/S) \leq 1$.

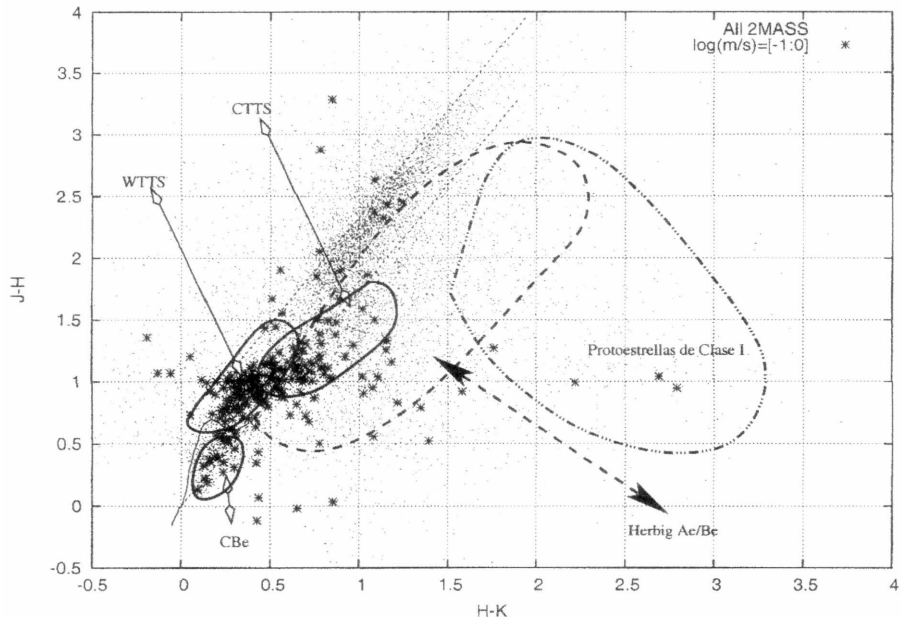


Figura 10: Idem figura 7 con contrapartes X en la banda $-1 \leq \log(M/S) \leq 0$.

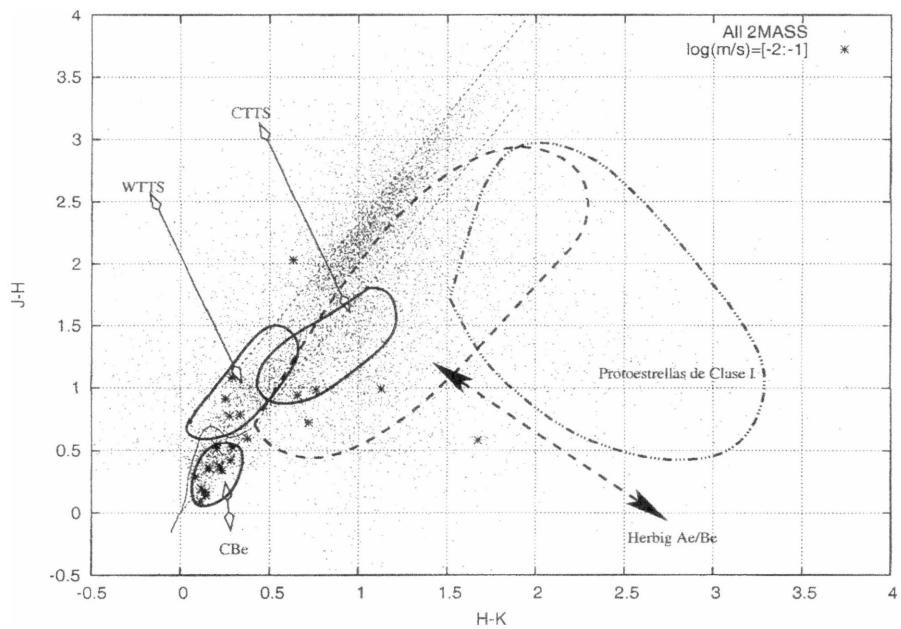


Figura 11: Idem figura 7 con contrapartes X en la banda $-2 \leq \log(M/S) \leq -1$.

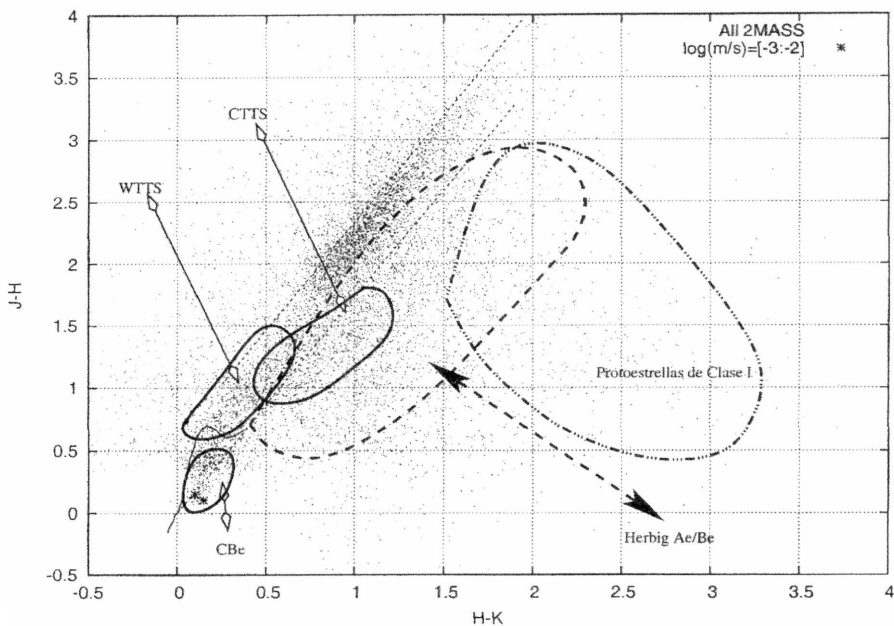


Figura 12: Idem figura 7 con contrapartes X en la banda $-3 \leq \log(M/S) \leq -2$.

3.3.1 Resultados:

Se comprobó:

1. Que no se encuentran contrapartes infrarrojas en la banda más dura ($\log M/S = [2 : 3]$) - Ver figura 7.
2. Que existen aproximadamente 180 fuentes que ocupan el lugar esperado para las WTTs y aproximadamente 150 fuentes que ocupan el lugar esperado para las CTTs.
3. Que existen aproximadamente 90 fuentes que ocupan el lugar esperado para las estrellas Herbig Ae/Be.
4. Que en la banda $-1 \leq \log(M/S) \leq 0$. existen 4 fuentes con gran exceso infrarrojo. Este es el sitio esperado para las proto-estrellas Clase I.
5. Que existen aproximadamente 40 fuentes que ocupan el lugar esperado

para las estrellas Be clásicas.

Debido a que las estrellas de tipo CTTs, WTTs y Herbig Be/Ae no tiene una ubicación independiente en el diagrama color-color (Lada & Adams 1992), las regiones se superponen y por lo tanto no se puede distinguir con certeza la cantidad exacta de estrellas de cada tipo. El número de fuentes de cada grupo esta dado por la cantidad de fuentes encontradas en cada una de las regiones dibujadas en las figuras (7), (8), (9), (10), (11) & (12), sin tener en cuenta las intersecciones entre las regiones. De esta forma, justificamos el hecho de que el número total de fuentes expuestas en los puntos anteriores supere a las 372 fuentes de la lista original.

Por lo dicho anteriormente, las cantidades expuestas en esta sección deben ser tomadas sólo, como ordenes de magnitud.

3.4 Diagrama Color-Magnitud infrarrojas para fuentes con contrapartes ópticas

Se confeccionó un gráfico de K vs $H - K$ (Figura 13). A la izquierda de mismo, con línea continua, se esquematizan las magnitudes esperadas para estrellas de distintos tipos espectrales (Hanson, Howarth & Conti - 1997) con una distancia de 2 kpc. Además, se muestran los tipos espectrales de las fuentes infrarrojas que mostraron contrapartes ópticas (indicadas con cruces). La clasificaciónpectral se obtuvo del trabajo de Hillenbrand *et al.*. Los puntos indican la totalidad de las fuentes obtenidas de la base de datos del 2MASS.

3.4.1 Resultados:

De la figura surge:

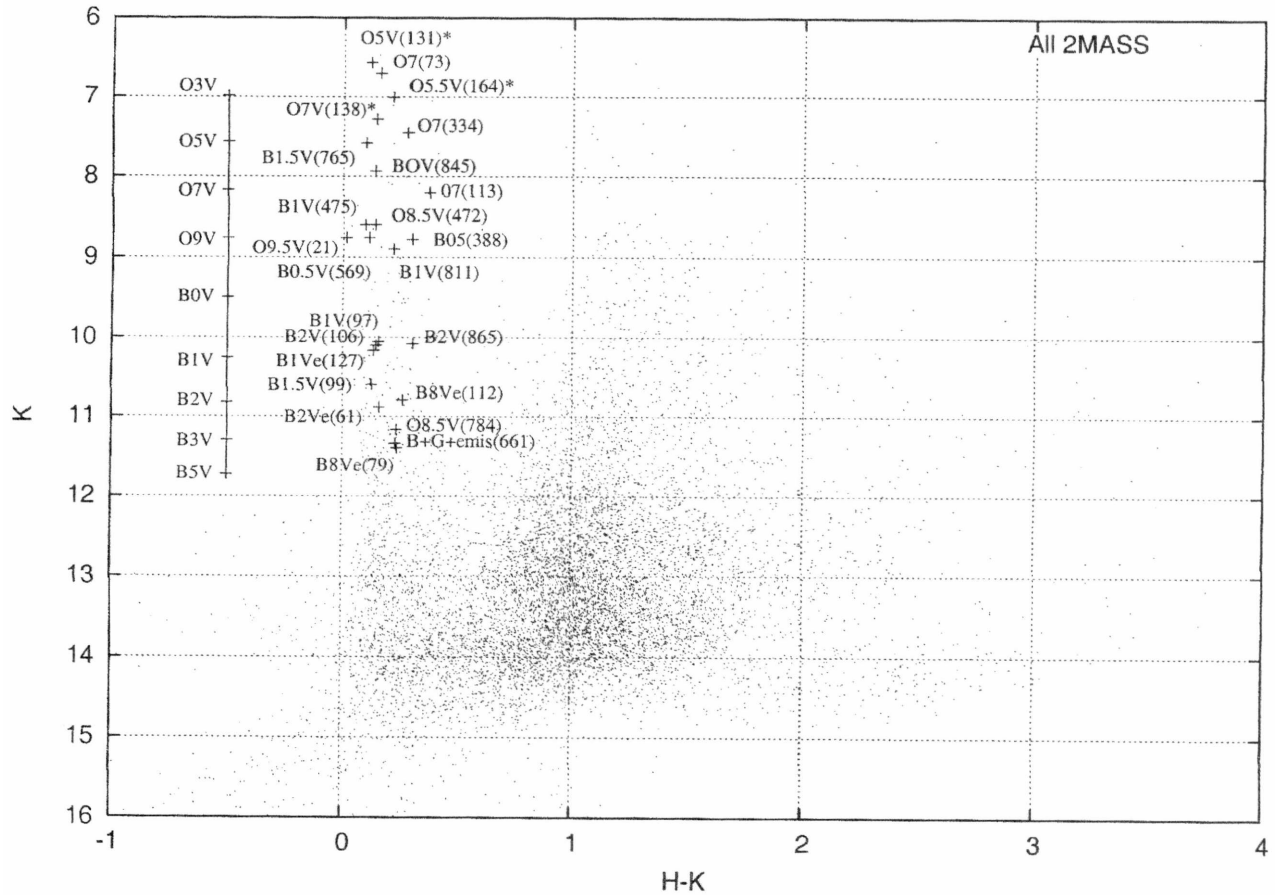


Figura 13: Diagrama color-magnitud en infrarrojo con superposición de sus contrapartes ópticas con identificación espectral conocida. Con línea continua se esquematiza las magnitudes esperadas para estrellas de distintos tipos espectrales

1. Que 6 fuentes no presentan enrojecimiento aparente al comparar su posición en el diagrama con la posición que deberían tener en la secuencia principal. Ellas fueron las fuentes con número de identificación 21, 61, 99, 113, 127 y 472
2. Que 4 fuentes están desplazadas en menos de una magnitud en la banda K respecto a la posición que deberían de tener en la secuencia principal no enrojecida. Estas diferencias están dentro de lo esperado teniendo en cuenta las incertezas en la clasificación espectral y una absorción (A_v) variable. Ellas fueron las fuentes con identificación 97, 106, 388 y 865
3. Que el resto de las fuentes muestran una dispersión mayor a \pm una magnitud en la banda K del 2MASS. Este resultado puede interpretarse de muchas maneras. Por ejemplo, podemos pensar que las fuentes ópticas e infrarrojas son “*contrapartes ópticas*”; o que se están observando sistemas múltiples; etc.

3.5 Diagramas color-color infrarrojo para fuentes con contrapartes ópticas y en rayos X.

Se confeccionó un gráfico de “ $J - H$ vs $H - K$ ” (Figura 14), donde se superpusieron las fuentes infrarrojas con emisión en el óptico y en rayos X a la vez.

Se puede ver que las fuentes con tipo espectral definido, se encuentran distribuidas a lo largo de la recta de enrojecimiento. Esto nos indica que la dispersión de magnitudes en la Figura 13 puede interpretarse, no como un exceso infrarrojo del objeto, sino como una absorción debida al medio.

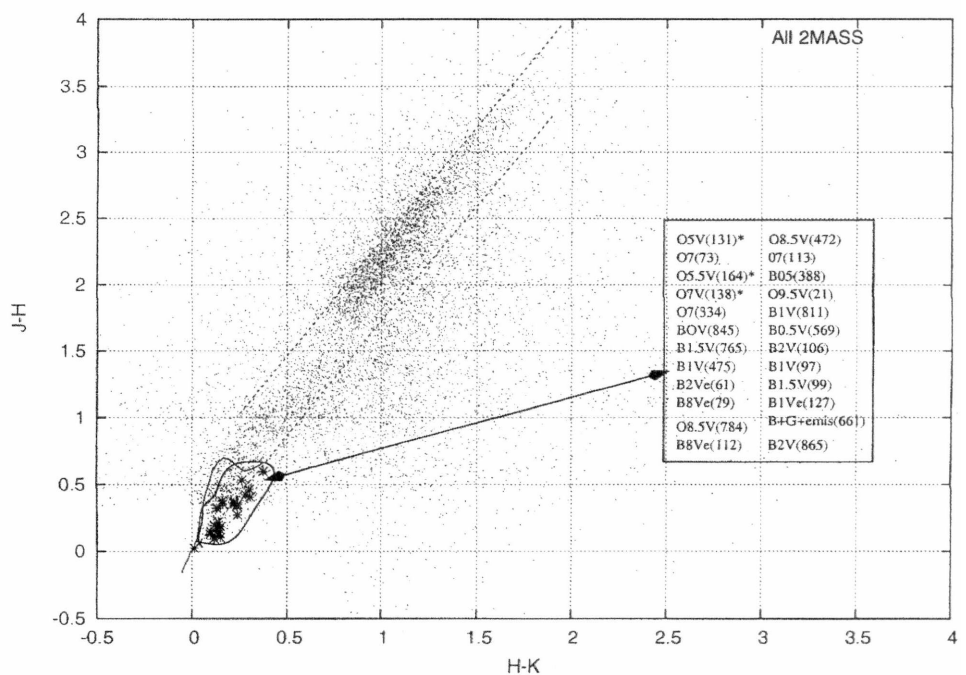


Figura 14: Diagrama color-color en infrarrojo para fuentes con contrapartes óptica y en rayos X (asteriscos). Las líneas punteadas son paralelas al vector de enrojecimiento (Rieke & Lebofsky - 1985). La línea continua representa la secuencia principal.

4 Estudio de la relación entre la emisión en Óptico y la emisión en Rayos X

Se utilizaron los datos obtenidos por Hillenbrand *et al.* (1993). Su tabla cuenta con 1022 estrellas de las cuales se tiene fotometría *UBV*. 135 de ellas cuentan con fotometría *JHK*. Además, se conoce el tipo espectral y clase de luminosidad de 80.

4.1 Correlación cruzada

Utilizando el mismo código Fortran que se utilizó con los datos infrarrojos (ver secciones 3 y 7.3), se efectuó la correlación cruzada entre la tabla de Hillenbrand *et al.* (*op. cit.*) y la tabla de coordenadas de fuentes de Rayos X (ver 2.3.2). Se consideraron como contrapartes ópticas a todas aquellas estrellas que estuvieran a una distancia angular menor que 1.8 segundos de arco (ver sección 7.3). Como resultado, obtuvimos que sólo 56 fuentes tenían contrapartes ópticas aparentes (Tabla 4), de las cuales, 50 se encontraban a menos de 1 segundo de arco de la detección en radiación X. Además, de 26 de ellas se conoce su tipo espectral y clase de luminosidad (Tabla 5).

En la tabla 4 se muestran las estrellas que se suponen contrapartes ópticas de las fuentes detectadas en rayos X, siendo:

Columna (1): Número de identificación que se le otorgó a cada fuente una vez que se había obtenido la lista final de 1294 fuentes X;

Columna (2): Número de identificación según Hillenbrand *et al.*;

Columnas (3) y (4): Ascensión recta (RA) y declinación (DEC) en la época J2000 en unidades sexagesimales.

Columna (5): Diferencia entre las coordenadas de las fuentes en rayos X y las coordenadas de sus contrapartes ópticas;

Tabla 4: Fuentes en rayos X con contrapartes ópticas. Datos observacionales ópticos obtenidos de Hillenbrand *et al.* (1993).

ID	ID Hill	RA	DEC	Distancia (segundos de arco)
21	443	18:18:42.808	-13:46:50.88	0.518
61	412	18:18:40.388	-13:46:18.09	0.515
63	410	18:18:40.299	-13:45:58.79	0.606
69	406	18:18:40.116	-13:47:00.77	0.425
73	407	18:18:40.123	-13:45:18.45	0.466
78	404	18:18:39.818	-13:47:35.19	0.315
79	403	18:18:39.789	-13:46:56.37	0.348
81	396	18:18:39.399	-13:47:11.78	0.361
89	389	18:18:38.913	-13:46:12.37	0.348
97	384	18:18:38.488	-13:45:56.03	0.599
99	382	18:18:38.431	-13:47:08.96	0.373
106	379	18:18:38.172	-13:44:25.18	0.540
112	373	18:18:37.677	-13:45:12.79	0.631
113	369	18:18:37.509	-13:43:39.19	0.686
124	363	18:18:37.073	-13:45:29.30	0.515
127	358	18:18:36.762	-13:47:33.11	0.573
131	353	18:18:36.448	-13:48:02.42	0.475
132	354	18:18:36.471	-13:47:18.93	0.842
138	347	18:18:36.065	-13:47:36.48	0.554
140	344	18:18:35.969	-13:46:41.92	0.544
164	320	18:18:32.748	-13:45:11.77	0.661
334	306	18:18:30.971	-13:43:07.72	0.747
351	227	18:18:21.067	-13:45:59.92	0.653
388	334	18:18:33.724	-13:40:58.29	0.985
441	438	18:18:42.460	-13:48:46.49	1.384
451	402	18:18:39.739	-13:48:40.81	0.706
452	395	18:18:39.327	-13:48:51.19	0.546
472	317	18:18:32.237	-13:48:47.76	0.785
475	271	18:18:26.178	-13:50:05.25	1.307
499	329	18:18:33.315	-13:54:11.25	0.466
500	328	18:18:33.302	-13:49:28.17	0.663
516	247	18:18:23.201	-13:47:49.37	1.044
542	214	18:18:19.705	-13:51:02.97	0.906
559	122	18:18:09.258	-13:46:54.51	1.263
566	602	18:18:58.727	-13:49:37.99	0.889
569	536	18:18:52.718	-13:49:42.22	0.667
604	438	18:18:42.505	-13:48:46.52	0.847
650	509	18:18:50.275	-13:53:00.67	0.869
661	473	18:18:46.178	-13:54:37.49	0.260
765	568	18:18:56.227	-13:48:30.93	0.452
767	563	18:18:55.867	-13:46:53.70	0.596
769	561	18:18:55.622	-13:48:44.45	0.553
770	559	18:18:55.570	-13:48:01.67	0.534
781	543	18:18:53.304	-13:46:06.90	0.515
784	542	18:18:53.041	-13:46:44.76	0.619
791	524	18:18:51.707	-13:47:59.37	0.788
811	500	18:18:49.457	-13:46:50.80	0.645
812	500	18:18:49.455	-13:46:48.58	1.634
825	485	18:18:47.922	-13:48:25.70	0.414
845	470	18:18:45.873	-13:46:30.53	0.715
854	466	18:18:45.341	-13:46:39.96	0.641
865	458	18:18:44.680	-13:47:56.22	0.639
961	622	18:19:00.616	-13:45:49.67	0.753
971	601	18:18:58.606	-13:45:34.19	0.729
1024	519	18:18:51.372	-13:42:46.01	1.472
1210	586	18:18:57.588	-13:42:39.94	1.369

En la tabla 5 se muestran las estrellas que se suponen contrapartes óptica de las fuentes detectadas en rayos X y de las cuales se conoce su tipo espectral siendo:

Columna (1): Número de identificación que se le otorgó a cada fuente una vez que se había obtenido la lista final de 1294 fuentes X;

Columna (2): Número de identificación según Hillenbrand *et al.*;

Columna (3) y (4): Ascensión recta (RA) y declinación (DEC) en época J2000 en unidades sexagesimales.

Columnas (5), (6) y (7): Magnitudes V , $B - V$ y $U - B$ respectivamente

Columna (8): Tipo espectral según Hillenbrand *et al.*

Tabla 5: Fuentes en rayos X con contrapartes ópticas para las cuales se conoce el tipo espectral. Los tipos espectrales y las magnitudes V, B-V y U-B fueron obtenidas del trabajo de Hillenbrand *et al.*

ID	ID Hill	RA	DEC	V	B-V	U-B	Ident.	Espec.
21	280	18:18:42.84	-13:46:51.1	10.12	0.43	-0.60	09.5V	
61	251	18:18:40.42	-13:46:18.2	13.34	0.69	-0.16	B2Ve	
73	246	18:18:40.15	-13:45:18.7	9.46	0.82	-0.32	O7II	
79	243	18:18:39.81	-13:46:56.5	13.80	0.63	-0.10	B8Ve	
97	231	18:18:38.52	-13:45:56.4	12.71	0.75	-0.26	B1V	
99	227	18:18:38.45	-13:47:09.2	12.85	0.59	-0.26	B1.5V	
106	228	18:18:38.20	-13:44:25.5	13.51	0.93	-0.10	B2V	
112	221	18:18:37.69	-13:45:13.4	14.55	1.02	0.62	B8Ve	
113	222	18:18:37.55	-13:43:39.5	13.07	1.29	-0.04	O7III	
127	207	18:18:36.80	-13:47:33.3	12.07	0.53	-0.28	B1Ve	
131	205	18:18:36.48	-13:48:02.5	8.18	0.43	-0.61	O5V(F)	
138	197	18:18:36.10	-13:47:36.6	8.73	0.45	-0.64	O7V(F)	
164	175	18:18:32.79	-13:45:11.9	10.09	0.84	-0.37	O5.5V(F)	
334	161	18:18:31.01	-13:43:08.2	11.29	1.05	-0.25	07	
388	188	18:18:33.77	-13:40:59.0	13.13	1.34	-0.03	B05	
472	156	18:18:32.28	-13:48:48.2	10.37	0.57	-0.54	O8.5V	
475	125	18:18:26.26	-13:50:05.6	10.01	0.47	-0.50	B1V	
559	25	18:18:09.34	-13:46:54.6	12.93	0.98	-0.13	B0.5V	
569	371	18:18:53.07	-13:46:45.2	13.44	0.65	-0.07	B0.5V	
661	310	18:18:46.19	-13:54:37.3	13.59	0.78	0.19	B+G+emis	
765	421	18:18:57.60	-13:42:41.3	14.98	1.06	0.15	B1.5V	
784	401	18:18:56.25	-13:48:31.2	8.90	0.40	-0.66	O8.5V	
811	343	18:18:49.44	-13:46:50.2	11.72	0.85	-0.17	B1V	
812	367	18:18:52.74	-13:49:42.8	9.39	0.24	-0.70	O9.5V	
845	314	18:18:45.91	-13:46:31.0	9.85	0.58	-0.46	B0V	
865	296	18:18:44.72	-13:47:56.5	11.78	0.50	-0.39	B2V	

4.2 Relación entre identificación espectral y posición en los diagramas color-color y color-intensidad en Rayos X

Se confeccionaron gráficos de color-color y color-intensidad en rayos X superponiendo los tipos espectrales de la tabla 5. Los resultados se puede observar en las figuras 15 y 16:

4.2.1 Resultados

- 1. Diagrama color-color:** Excepto por las fuentes con identificación 845, 765 y 784, se observa una tendencia de las estrellas tardías ubicarse en regiones más duras del diagrama, mientras que las estrella tempranas, tienden a ubicarse en regiones más blandas del diagrama
- 2. Diagrama color-intensidad:** Excepto por la fuente con identificación 765, se observa una tendencia de las estrellas tempranas a tener inter-

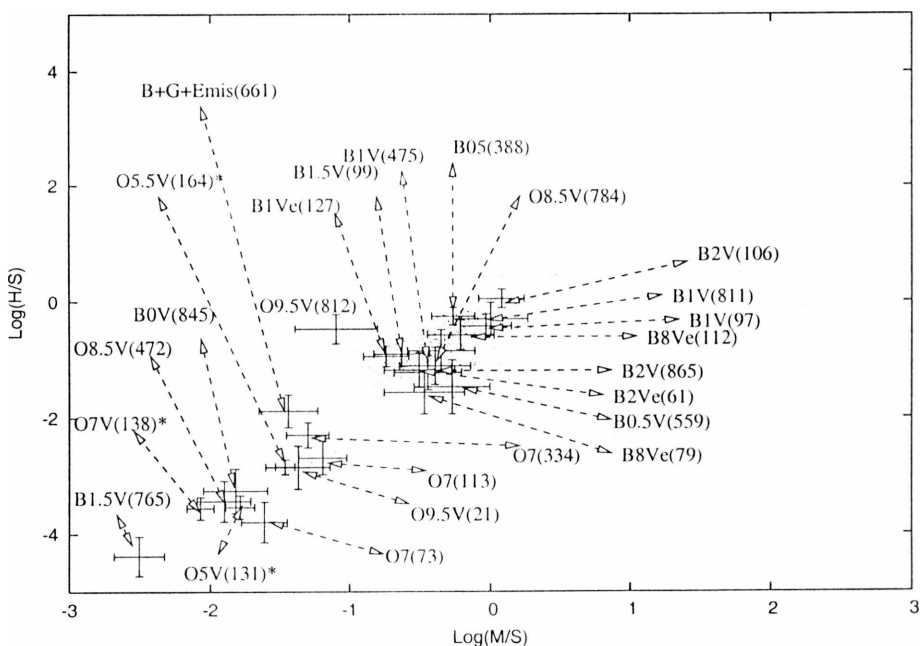


Figura 15: Diagrama color-color en emisión X para fuentes con contrapartes ópticas he identificaciones espectrales. Se observa una tendencia de las estrellas más tempranas a ubicarse en las regiones más blandas del diagrama, mientras que las estrellas más tardías se encuentran en regiones más duras del diagrama. La fuente con número de identificación 569 no se encuentra presente debido a que el detector no obtuvo cuentas en la banda dura de su espectro.

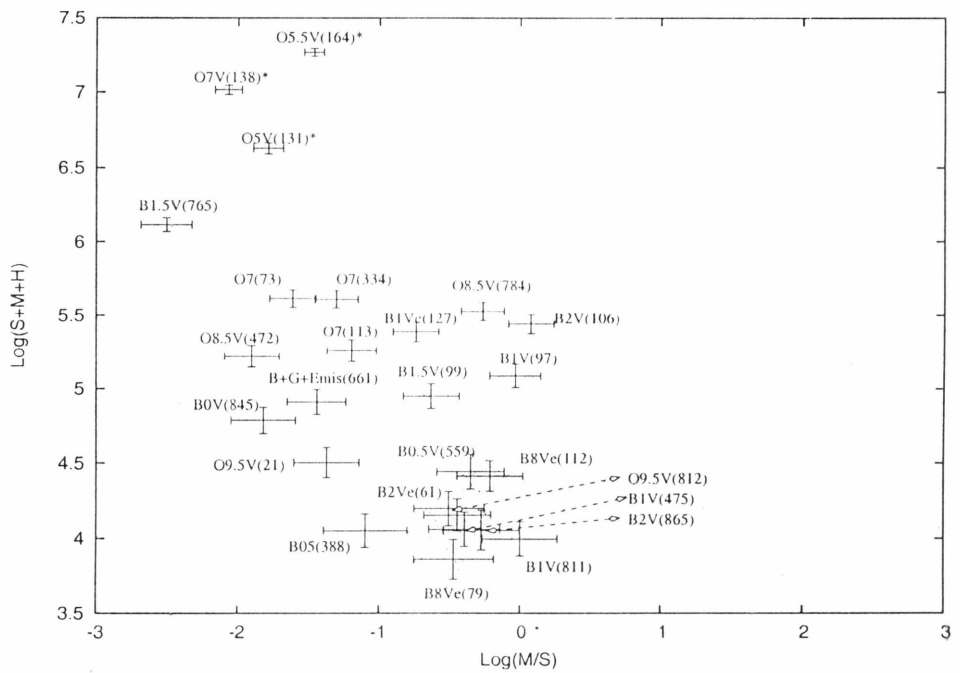


Figura 16: Diagrama color-intensidad en emisión X para fuentes con contrapartes ópticas he identificaciones espectrales. Se observa una tendencia de las estrellas tempranas a ser más brillantes en rayos X, en comparación a las estrellas más tardías. La fuente con número de identificación 569 no se encuentra presente debido a que el detector no obtuvo cuentas en la banda dura de su espectro.

sidades mayores que las estrellas tardías, es decir, que aparentemente las estrellas más tempranas son más luminosas en emisión X.

3. ¿Cuáles son las posibles causas del apartamiento de dichas tendencias?

Existen muchas variables que en conjunto pueden causar el apartamiento (o no), de las tendencias sugeridas en los dos puntos anteriores. Una absorción variable, la cual depende del medio interestelar y no de la fuente propiamente dicha, hace que la fuente parezca más dura cuanto más absorción hay entre la fuente y el observador. Por otro lado, tenemos variables relacionadas con las propiedades intrínsecas de las fuentes de emisión en rayos X, como puede ser el tamaño y estructura de los discos de acreción que presentan muchas de las estrellas de prescuencia principal, colisión de vientos estelares en sistemas múltiples, etc. Además, existen otras causas posibles. No podemos descartar la posibilidad de que las fuentes de rayos X y las estrellas con emisión en el rango óptico, sean sólo “contrapartes ópticas”, o que las fuentes no pertenezcan al cúmulo, o que la clasificaciónpectral sea imprecisa. Lamentablemente, no se cuenta con la cantidad suficiente de datos como para poder estimar el factor o los factores que hacen que dicha tendencia se cumpla en mayor o menor forma.

5 Flujo Intrínseco y Absorción Interestelar

Debido a que los flujos intrínsecos dependen sólo de los procesos físicos que originan la radiación X, el objetivo de esta sección es estimar el flujo intrínseco de cada una de las 444 fuentes en las cuatro bandas de energía en rayos X definidas en la sección 2.3.

En la sección 2.3.4, se vio que la gran mayoría de las fuentes no son brillantes, lo que se dificulta el proceso de medición de sus flujos absorbidos mediante técnicas de ajustes espectrales. Además, se espera que la absorción interestelar sea variable debido a que estamos estudiando un cúmulo estelar joven. Por lo tanto, se plantea una alternativa para la obtención de estos parámetros basada en suposiciones estadísticas.

Debido a la forma en que las fuentes se distribuyen a lo largo de nuestro diagrama color-color en rayos X (ver sección 2.4), en primera aproximación supondremos que existirá una relación entre la posición de cada una de ellas en dicho diagrama, sus flujos y sus *count rates*¹⁶. Por lo tanto, supondremos que el flujo será función de la dureza de la fuente y de sus *count rates*, es decir:

$$\text{Flujo} = f(c/s, s, m, h, m/s) \quad (5)$$

Donde:

c/s – *count rates*.

s, m, h – Número de cuentas en las bandas soft, medium y hard respectivamente,

m/s – Medium/soft.

Además, supusimos que la función $f(c/s, s, m, h, m/s)$ es lineal con los *count rates*. La justificación de dicha suposición se encuentra en la sección 7.2

¹⁶Se le llama “*count rates*” a la cantidad de fotones detectados por la cámara por unidad de tiempo.

5.1 Selección de fuentes

Se seleccionaron 8 fuentes distribuidas homogéneamente en el diagrama color-color en rayos X confeccionado en la sección 2.3.4. En la figura 17 se muestra la posición de cada una de las fuentes, con su número de identificación según fueron asignadas en la sección 2.3.4.

La tabla 6 da los detalles de las fuentes seleccionadas siendo:

Columna (1): Número de identificación que se le otorgó a cada fuente una vez que se había obtenido la lista final de 1294 fuentes X;

Columna (2), (3), (4) & (5): Número de cuentas y sus errores en las bandas soft, medium, hard y full respectivamente.;

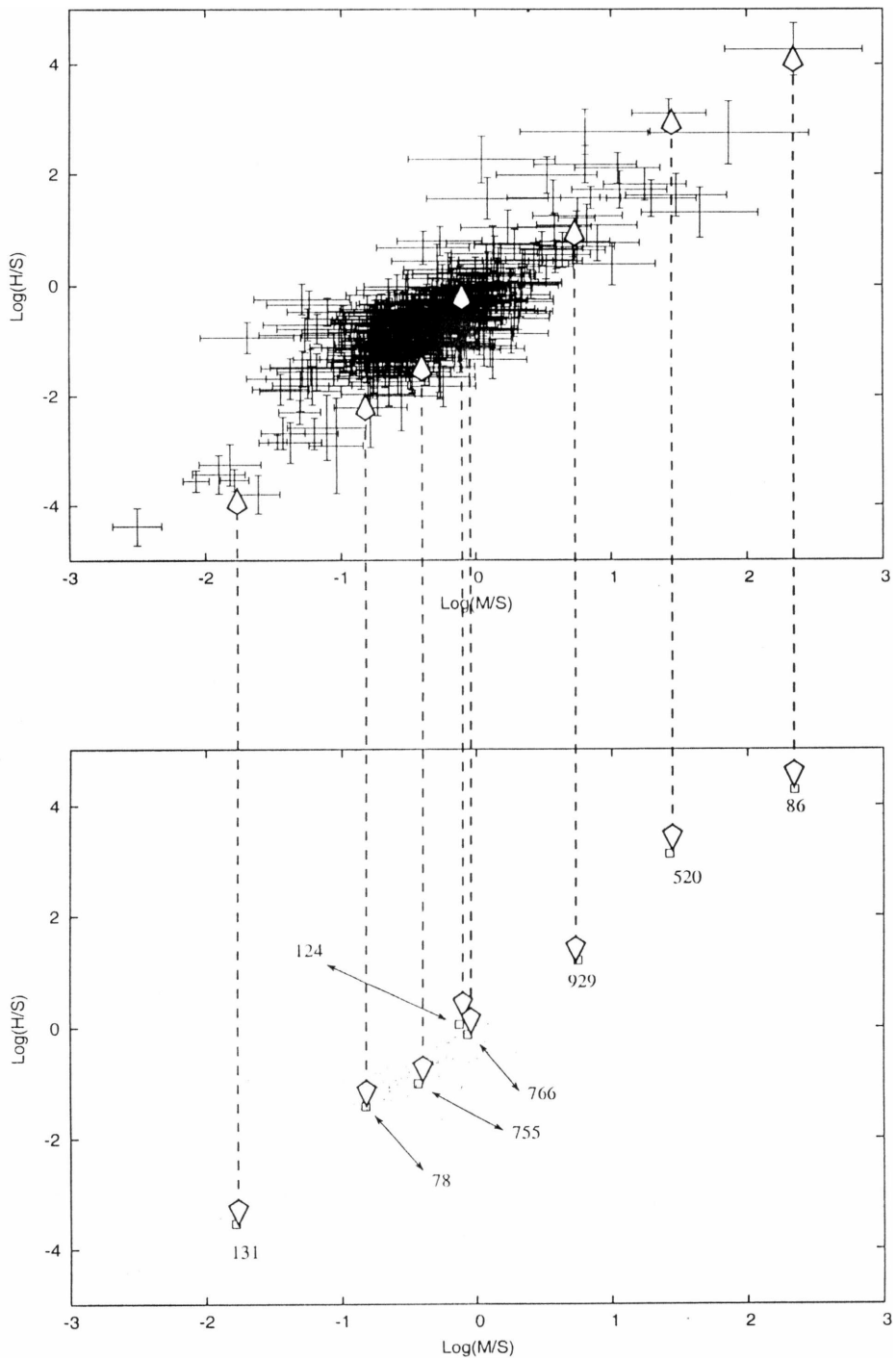
Tabla 6: Características de las fuentes seleccionadas: se muestran las cuentas con su error a 1σ .

ID	Cuentas soft	Cuentas medium	Cuentas hard	Cuentas full
131	631.87 ± 25.14	105.90 ± 10.30	12.62 ± 3.61	750.39 ± 27.40
78	274.87 ± 16.58	120.90 ± 11.00	66.64 ± 8.19	462.41 ± 21.52
755	127.10 ± 11.31	82.32 ± 9.11	46.45 ± 7.00	255.87 ± 16.12
766	138.78 ± 11.79	129.84 ± 11.40	122.39 ± 11.09	391.01 ± 19.80
124	475.77 ± 21.82	418.83 ± 20.47	502.34 ± 22.43	1396.94 ± 37.39
929	82.80 ± 9.22	175.34 ± 13.30	275.74 ± 16.79	533.87 ± 23.33
520	10.54 ± 4.26	72.38 ± 8.84	389.78 ± 20.28	472.70 ± 22.53
86	0.51 ± 1.00	15.63 ± 4.00	151.62 ± 12.37	167.76 ± 13.04

5.2 Espectros

El espectro de cada una de estas fuentes fue extraído utilizando la rutina *psextract* que se encuentra disponible a través de CIAO. Los espectros fueron creados en modo *Pha (Pulse Height Amplitude)* y con un *bin* de modo de colectar 15 eventos por canal. De esta manera se asegura que la distribución estadística del número de cuentas por canal responde a una distribución gaussiana, la cual es necesaria para poder utilizar el test estadístico de χ^2 (ver sección 7.2)

Figura 17: Distribución de las 8 fuentes que fueron seleccionadas para obtener las relaciones entre flujos observados y sus respectivos *count rates*.



5.2.1 Modelos

Breve descripción de los modelos:

1. **Wabs:** Modelo de absorción foto-eléctrica desarrollado por Morrison & McCammon (ApJ 270, 119).

$$M(E) = \exp(-NH \cdot \sigma(e)) \quad (6)$$

Donde:

E = Energía.

NH = Densidad columnar de Hidrógeno en unidades de 10^{22} átomos/ cm^2

$\sigma(e)$ = Sección eficaz foto-eléctrica asumiendo abundancia solar
(No incluye dispersión de Thomson)

2. **Ley de potencias (Power law):** Modelo de emisión según una ley de potencias.

$$A(E) = K(E/1keV)^{-\gamma} \quad (7)$$

Donde:

E = Energía.

γ = índice de la ley de potencias (adimensional).

K = fotones/ $keV/cm^2/seg..$

3. **Meka:** Modelo de emisión de un gas caliente y difuso basado en los modelos calculados por Mewe *et al.* Este modelo incluye líneas de emisión de varios elementos. Como referencias se pueden tomar los trabajos de: Mewe, Gronenschild, and van den Oord (1985); Mewe, Lemen, and van den Oord (1986); Kaastra, J.S. 1992.

Los parámetros a ajustar son:

- (a) La temperatura del plasma en keV
 - (b) Densidad columnar de hidrógeno en cm^{-2}
 - (c) Abundancias: los elementos incluidos son el C, N, O, Ne, Na, Mg, Al, Si, S, Ar, Ca, Fe, Ni (parámetro opcional).
 - (d) Corrimiento al rojo (parámetro opcional).
4. **Cuerpo negro (*Blackbody Spectrum*):** Modelo de emisión de cuerpo negro.

$$A(E) = K \cdot 8.0525 \cdot E^2 \cdot dE / (kT^4 \cdot (\exp(E/kT) - 1)) \quad (8)$$

Donde:

E = Energía.

kT = Temperatura en unidades de keV.

$K = L_{39}/D_{10}^2$, donde L_{39} es la luminosidad de la fuente en unidades de $10^{39} ergs/seg$ y D_{10} es la distancia a la fuente en unidades de $10kpc$.

5.2.2 Ajuste de espectros

Utilizando el programa *xspec* que se puede obtener en forma gratuita de la página de *HEASARC (High Energy Astrophysics Science Archive Research Center)*¹⁷, se ajustaron los espectros de las 8 fuentes listadas en la sección 5.1.

Primero se ajustaron los modelos de tal manera que el χ^2 fuera lo más cercano a 1. En la tabla 7 se muestran los resultados siendo:

Columna (1): Número de identificación que se le otorgo a cada fuente una vez que se había obtenido la lista final de 1294 fuentes X;

Columna (2): Modelo utilizado para ajustar el espectro¹⁸:

1. Con “w” nos referimos al modelo de absorción *wabs*
2. Con “pow” nos referimos al modelo de absorción *Power law*

Columna (3): Valor de la densidad columnar (NH) obtenido por el ajuste.

Columna (4): Valor del parámetro γ del modelo de “ley de potencias”

Columna (5): Valor del parámetro kT (Temperatura) del modelo “*vme-ka*” o “*black body*” según corresponda.

Columna (6): Valor del χ^2 obtenido.

¹⁷<http://heasarc.gsfc.nasa.gov/>

¹⁸ver sección 5.2

Tabla 7: Características de las fuentes seleccionadas: el modelo que se utilizó para ajustar sus espectros y los parámetros de dichos espectros. También se muestra el valor de χ^2 que se obtuvo respectivamente. Por último, se muestra el tipo espectral de las contrapartes ópticas conocidas.

ID	Modelo	NH [$10^{22} cm^{-2}$]	γ	kT [keV]	χ^2 [σ]	TE
131	w+vm	0.5	-	0.53	0.73	O5V(F)
78	w+vm+pow	0.6	2.62	0.9	1.	-
755	w+pow	0.29	2.42	-	1.09	-
766	w+pow	0.83	2.25	-	1.11	-
124	w+vm	0.46	-	8.27	1.05	-
929	w+vm+pow	2.25	1.9	0.82	1.11	-
520	w+bb	1.75	-	1.85	1.06	-
86	w+pow	0.64	0.61	-	0.91	-

Debido a que nuestro objetivo es la obtención de flujos en las distintas bandas definidas en la sección 2.3, y que el flujo contenido dentro de una línea espectral se puede considerar despreciable respecto al flujo total, se ajustaron todos los espectros utilizando una combinación de un modelo de absorción (“*wabs*”) con una ley de potencias como modelo de emisión (*powerlaw*).

Tabla 8: Características de las fuentes seleccionadas: los parámetros NH y γ de los modelos *wabs* y “ley de potencias” respectivamente. También se muestra el valor de χ^2 que se obtuvo. Por último, se muestra el tipo espectral de las contrapartes ópticas conocidas.

ID	Modelo	NH [$10^{22} cm^{-2}$]	γ	χ^2 [σ]	TE
131	w+pow	0.79	6.07	2.23	O5V(F)
78	w+pow	0.65	3.19	1.31	-
755	w+pow	0.29	2.42	1.09	-
766	w+pow	0.83	2.25	1.11	-
124	w+pow	0.6	1.7	1.11	-
929	w+pow	2.03	2.275	1.34	-
520	w+pow	3.33	0.94	0.94	-
86	w+pow	0.64	0.61	0.91	-

Figura 18: Espectros y ajustes de modelos utilizando combinaciones de los modelos explicados en la sección 5.2.1. En la tabla (6) se encuentran los detalles de dichos ajustes. Se muestran los espectros de las 8 fuentes seleccionadas, sus respectivos ajustes y errores. El error en el ajuste se encuentra en unidades de σ .

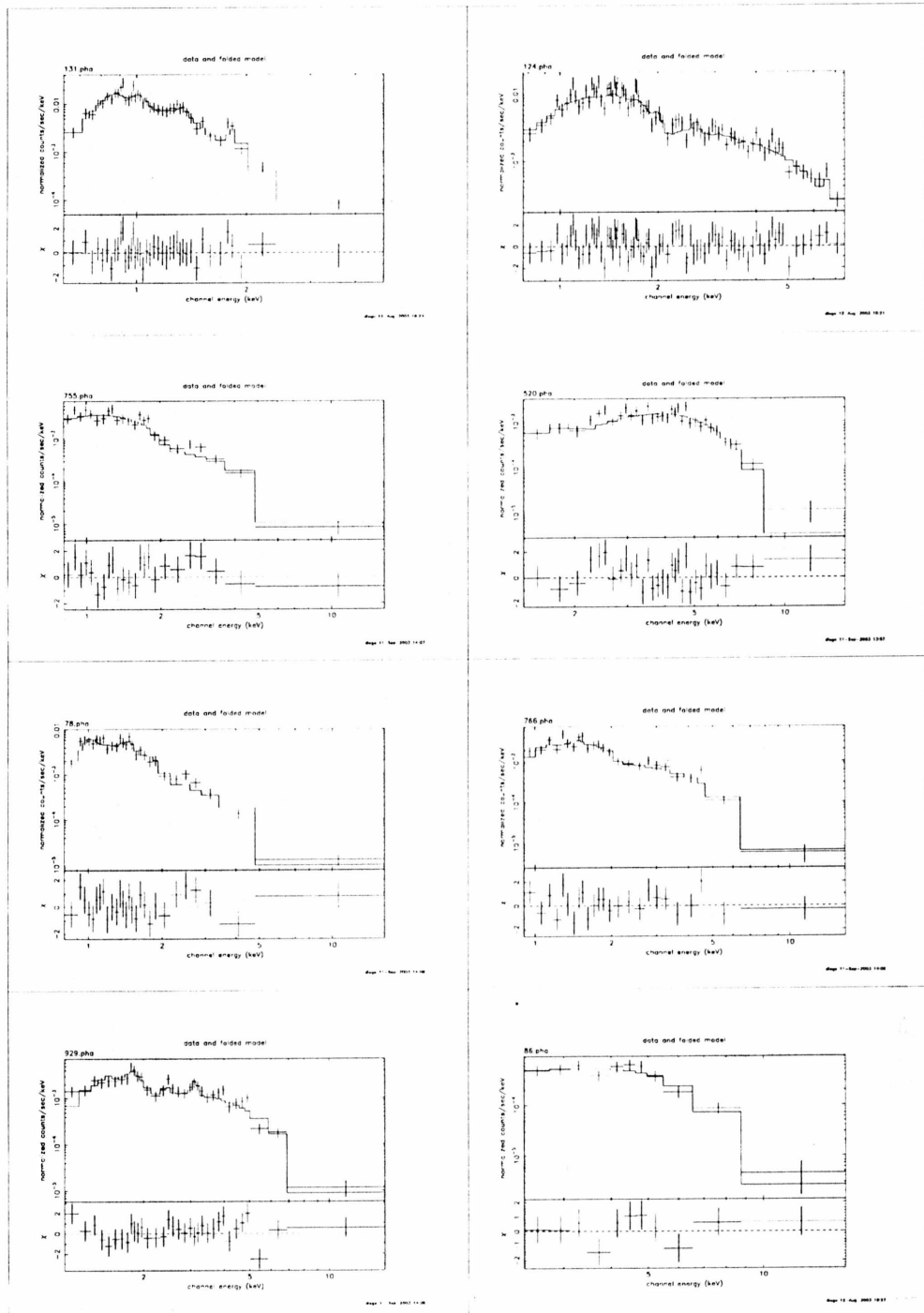
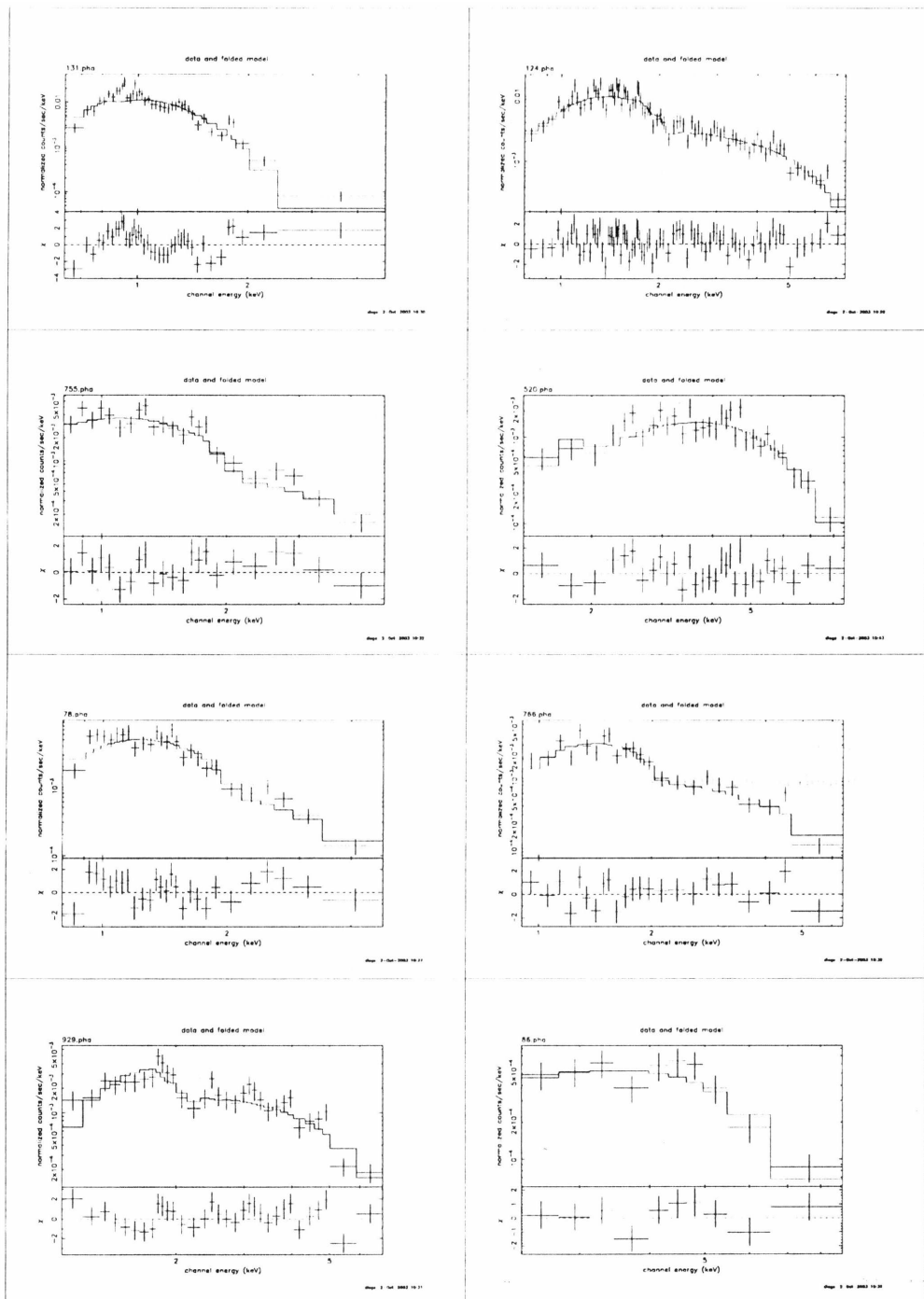


Figura 19: Espectros y ajustes de modelos utilizando sólo la combinación de modelos “*wabs + pow*” (ver sección 5.2.1). En la tabla (8) se encuentran los detalles de dichos ajustes. Se muestran los espectros de las 8 fuentes seleccionadas, sus respectivos ajustes y errores. El error en el ajuste se encuentra en unidades de σ .



Los resultados son los siguientes:

1. Todas las fuentes se pudieron ajustar utilizando combinaciones de los modelos explicados en la sección 5.2.1. En la tabla (6) se encuentran los detalles de dichos ajustes. En la figura (18) se encuentran graficados los espectros de las 8 fuentes seleccionadas, sus respectivos ajustes y errores. El error en el ajuste se encuentra en unidades de σ .
2. Aunque los ajustes hechos con distintos modelos son muy buenos (ver tabla 6 - $\chi^2 \approx 1$), todas las fuentes también se pudieron ajustar con la combinación de modelos “wabs + pow” con un $\sigma < 2$ y $\chi^2 < 2$. En la tabla (8) se encuentran los detalles de dichos ajustes. En la figura (19) se encuentran graficados los espectros de las 8 fuentes seleccionadas, sus respectivos ajustes y errores. El error en el ajuste se encuentra en unidades de σ .
3. Se encontró una densidad columnar de hidrógeno neutro (NH) variable. Esto se esperaba por ser un cúmulo muy joven.
Estos resultados son consistentes con las absorciones visuales (Av) obtenidas por Hillenbrand *et al.*, transformadas utilizando la ecuación¹⁹:

$$Av \sim 4.5 \cdot 10^{-22} \cdot NH \quad (9)$$

5.2.3 Modelos ficticios

Una vez hallados los parámetros necesarios para modelar cada uno de los espectros de las 8 fuentes, el siguiente paso fue crear espectros ficticios basados en estos parámetros. Mediante esta técnica, se pueden obtener los flujos y los *count rates* para fuentes ficticias de distinta intensidad basado en el modelo

¹⁹Gorenstein, 1975, ApJ 198, 95

ajustado a una fuente particular. De esta manera, y asumiendo que todas las demás fuentes del cúmulo pueden ajustarse con el mismo modelo espectral que estas 8 fuentes (salvo que serán más o menos intensas), es posible obtener flujos en unidades físicas a partir de los *count rates* observados.

Se utilizó el comando *fakeit*²⁰ dentro del entorno del programa *xspec*. El trabajo se dividió en dos partes:

1. Se varió la constante de normalización, la cual es parte de todo modelo, para así obtener el flujo observado que uno tendría si la fuente tuviera *count rates* mayores o menores al observado. Por lo tanto, para cada fuente, pudimos obtener un conjunto de puntos que relacionan el flujo observado y sus *count rates* en las cuatro bandas. Debido a que en todos los casos se observaba una distribución suave de puntos, se ajustó una recta a cada conjunto de datos utilizando la rutina *fit* dentro del entorno del programa *gnuplot*²¹.

Finalmente, se confeccionaron 4 gráficos, uno para cada banda, de *flujo observado vs Count rates* superponiendo los resultados obtenidos para las 8 fuentes.

2. Luego, se clasificaron las fuentes por sus índices de color y se les calculó su flujo observado a través de sus respectivos *count rates* utilizando las relaciones halladas en el punto anterior. En la tabla (10) se muestran los flujos observados de las 444 fuentes de la lista hallada en la sección 2.3.4.

²⁰<http://www.asdc.asi.it/manuals/xspec/node87.html>

²¹<http://www.gnuplot.info/>

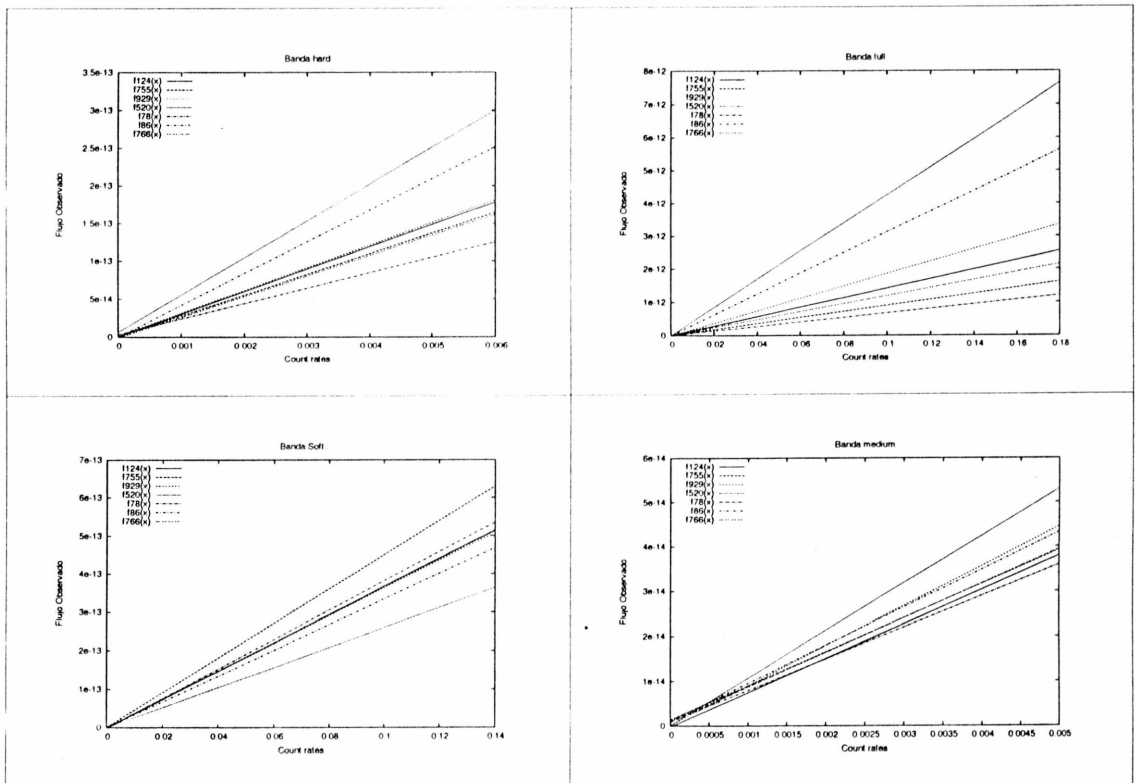


Figura 20: *Count rates* vs Flujos absorbidos: se presentan las relaciones entre el flujo observado y los *count rates*, modeladas para cada estrella en cada una de las cuatro bandas ya definidas. En cada uno de los casos, se eligieron las mejores aproximaciones para obtener los flujos a partir de los respectivos *count rates*.

5.2.4 Comparación de observaciones con modelos

Nos preguntamos si existía la posibilidad de que nuestras observaciones puden ser descriptas con los modelos simples que utilizamos en la sección 5.2.2. Para analizar el problema, tuvimos en cuenta que existe una densidad columnar variable, que el valor de γ , parámetro del modelo de ley de potencias, era variable y que la temperatura kT , parámetro del modelo de cuerpo negro, también era variable. Utilizando la rutina *fakeit* dentro del entorno *xspec* se obtuvieron los colores esperados S, M & H para distintos valores de la NH , kT y γ . Con estos datos, se confeccionaron curvas que luego fueron superpuestas en el diagrama color-color en Rayos X, como se muestran en la figura 21.

Se pudo observar que:

- I. La mayoría de las fuentes no pueden ser explicadas sólo con una combinación del modelo de absorción *Wabs* y el de cuerpo negro *Black Body*, ni siquiera utilizando un rango de densidad columnar amplio:

$$0.2 \cdot 10^{22} \cdot cm^{-2} \leq NH \leq 2 \cdot 10^{22} \cdot cm^{-2}$$

- II. Teniendo en cuenta los errores (1σ), casi el total de las fuentes puede ser explicado con una combinación entre el modelo de absorción *Wabs* y el de ley de potencias *Power law*, para

$$0.2 \cdot 10^{22} \cdot cm^{-2} \leq NH \leq 2.5 \cdot 10^{22} \cdot cm^{-2}$$

- III. Teniendo en cuenta las barras de errores (1σ), la totalidad de las fuentes puede ser explicado con una combinación del modelo “*wabs + black body*” y del modelo “*wabs + power law*”, cuando se cumple que:

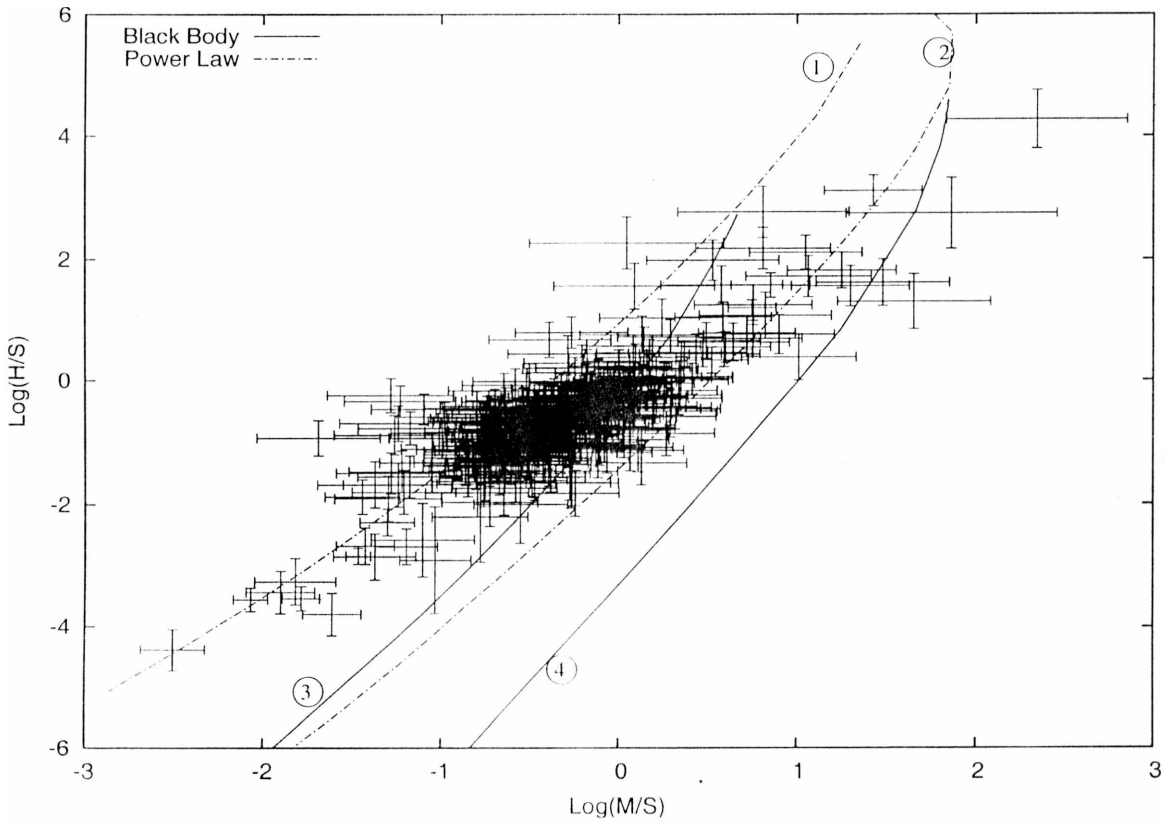


Figura 21: Comparación entre observaciones y modelos. Las dos curvas punteadas representan al modelo de ley de potencias con densidades columnares de $0.2 \times 10^{22} \text{ cm}^{-2}$ (1) y $2 \times 10^{22} \text{ cm}^{-2}$ (2). Ambas curvas se hacen más positivas en el diagrama a medida que γ decrece ($5 \leftarrow \gamma \rightarrow -3$). Las dos curvas continuas representan al modelo de cuerpo negro con densidades columnares de $0.2 \times 10^{22} \text{ cm}^{-2}$ (3) y $2 \times 10^{22} \text{ cm}^{-2}$ (4). La curva se hace más positiva a medida que la temperatura aumenta ($0.2 \text{ keV} \leftarrow kT \rightarrow 8 \text{ keV}$)

(a) $0.15 \text{ keV} \leq kT \leq 8 \text{ keV}$

A mayor temperatura, los modelos representan espectros más duros, es decir, espectros con colores más positivos.

(b) $-6 \leq \gamma \leq 10$.

A mayor índice, los modelos representan espectros más blandos, es decir, espectros con colores más negativos.

(c) $0.2 \cdot 10^{22} \cdot \text{cm}^{-2} \leq NH \leq 2 \cdot 10^{22} \cdot \text{cm}^{-2}$

A menor densidad columnar, se tiene menor absorción y por lo tanto, los modelos se hacen más blandos (Las curvas se mueven hacia la izquierda del diagrama, a medida que NH disminuye).

5.3 Flujo intrínseco

Se quieren obtener los flujos intrínsecos de las fuentes a partir de los conocimientos adquiridos hasta el momento, a saber:

1. Flujos observados en las bandas soft, medium, hard y full, según fueron definidas en la sección 2.3.
2. Modelos que “*pueden ajustar*” los espectros de las 444 fuentes.
3. Densidad columnar variable con rango estimado entre $0.2 \cdot 10^{22} \cdot \text{cm}^{-2} \leq NH \leq 2 \cdot 10^{22} \cdot \text{cm}^{-2}$

El trabajo consistió en:

1. Utilizando el comando *fakeit*, se confeccionaron 5 curvas utilizando el modelo “*wabs + pow*” para las densidades columnares $NH = 0.2 \times 10^{22} \text{ cm}^{-2}$, $NH = 0.7 \times 10^{22} \text{ cm}^{-2}$, $NH = 1.2 \times 10^{22} \text{ cm}^{-2}$, $NH = 1.7 \times 10^{22} \text{ cm}^{-2}$ y $NH = 2.2 \times 10^{22} \text{ cm}^{-2}$ y para $-1 < \gamma < 5.5$. Estas

curvas se superpusieron en el diagrama color-color que se muestra en la figura 22.

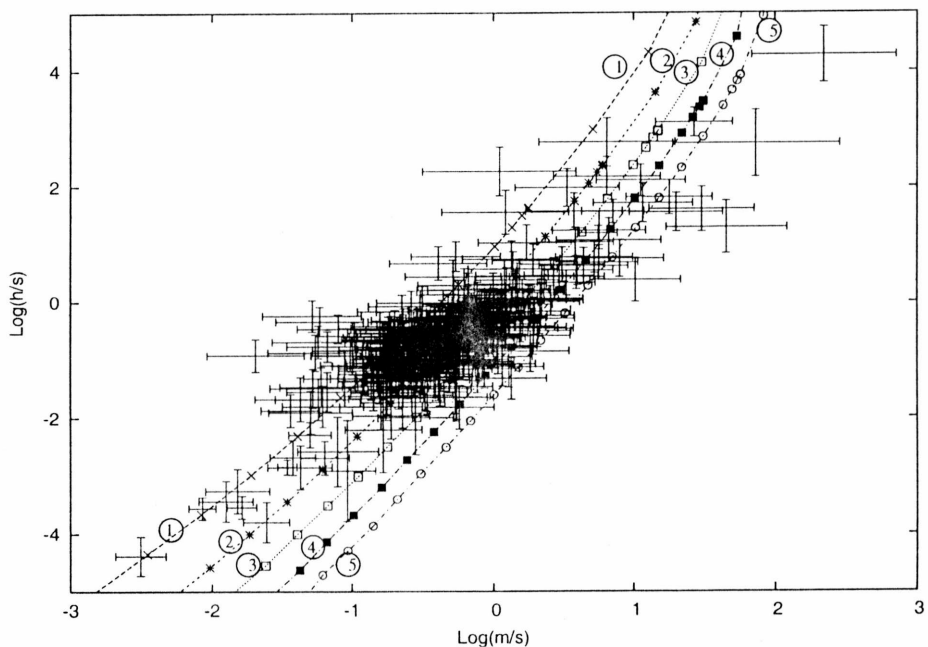


Figura 22: Diagrama color-color en rayos X. Las 5 curvas representan al modelo “wabs + pow” para densidades columnares de $NH = 0.2 \times 10^{22} \text{ cm}^{-2}$ (1), $NH = 0.7 \times 10^{22} \text{ cm}^{-2}$ (2), $NH = 1.2 \times 10^{22} \text{ cm}^{-2}$ (3), $NH = 1.7 \times 10^{22} \text{ cm}^{-2}$ (4) & $NH = 2.2 \times 10^{22} \text{ cm}^{-2}$ (5).

los diferentes puntos que conforman las curvas de la figura (22).

4. Utilizando los datos de la tabla definida en el punto anterior y los datos de la tabla (9), se interpolaron los flujos intrínsecos a partir del valor de γ , NH y de sus flujos absorbidos en las bandas soft, medium, hard & full. De esta manera se obtuvo la tabla (10) donde la:

Columna (1): Número de identificación que se le otorgó a cada fuente una vez que se había obtenido la lista final de 1294 fuentes X;

Columna (2): Valor del parámetro γ ;

Columna (3) Valor de la densidad columnar NH ;

Columnas (4), (6), (8) y (10): Flujos absorbidos para las bandas soft, medium, hard & full respectivamente.

Columnas (5), (7), (9) y (11): Flujos intrínsecos para las bandas soft, medium, hard y full respectivamente.

5. Es importante recalcar que:

- (a) se encontraron 8 fuentes cuyos flujos intrínsecos en la banda soft son mayores a los flujos intrínsecos en la banda full. A saber, las fuentes con identificación 172, 349, 383, 727, 809, 815, 837, 1176.
- (b) se encontraron 8 fuentes cuyos flujos intrínsecos en la banda hard son mayores a los flujos intrínsecos en la banda full. A saber, las fuentes con identificación 86, 216, 353, 547, 639, 664, 666, 937.

Existen distintas explicaciones: las estrellas tomadas como guía para obtener los flujos absorbidos no representan a las fuentes problemáticas; el modelo “wabs + pow” no representa al mecanismo de emisión de dichas fuentes; los parámetros NH y/o γ no representan a la densidad

- también lo son en infrarrojo (ver sección 3.2).
2. aproximadamente, el 87% de las fuentes de rayos X con contrapartes infrarrojas ocupan las regiones esperadas para las estrellas CTTs (*Clasic TTau stars*), WTTs (*Weak TTau stars*), Herbig Be/Ae y protoestrellas de Clase I, en los diagramas color-color en infrarrojo ($H - K$ vs $J - H$). (ver sección 3.3 y 3.3.1).
 3. aproximadamente, el 13% de las fuentes de rayos X con contrapartes infrarrojas ocupan la región esperada para las estrellas Be clásicas. (ver sección 3.3 y 3.3.1).
 4. En las fuentes de rayos X con contraparte óptica:
 - (a) el 15% de las fuentes en rayos X tienen contrapartes ópticas de las cuales se conocen los tipos espectrales sólo de la mitad de ellas. Los tipos espectrales varían desde estrellas de tipopectral $O5V$ hasta estrellas de tipopectral $B8Ve$ (ver sección 4.1).
 - (b) existe una tendencia de las estrellas más tempranas a ubicarse en regiones de emisión X más blandas en los diagramas color-color; y una tendencia de las estrellas más tardías a ubicarse en regiones de emisión X más duras en dicho diagrama (ver sección 4.2).
 - (c) las estrellas de tipopectral temprano (Tipo espectral O) son más brillantes en emisión X que las estrellas de tipopectral más tardío (Tipo espectral B) - (ver sección 4.2).
 - (d) en los diagramas color-color en infrarrojo con superposición de contrapartes con emisión en rayos X y tipopectral conocido, existen estrellas que tienen magnitudes en la banda infrarroja K,

diferentes de lo esperado por su tipo espectral. Existen varias explicaciones posibles. (ver sección 3.4).

5. el modelo que mejor ajusta a todo el conjunto de fuentes de rayos X es una combinación del modelo de absorción “*wabs*” con los modelos de emisión de “*cuerpo negro*²²” y un modelo de “*ley de potencias*²³”, (ver sección 5.2.4).
6. la densidad columnar (NH), derivada para 8 fuentes de rayos X, es variable. Estos resultados son consistentes con las absorciones *Av* obtenidas por Hillenbrand *et al.* (1993) en el rango óptico (ver sección 5.2.2).

7 Apéndice:

7.1 La misión CHANDRA

El observatorio Chandra de rayos X fue lanzado el 23 de Julio de 1999 y es uno de los observatorios de rayos X más sofisticados que se encuentran actualmente en funcionamiento. La siguiente tabla resume las características principales del instrumento utilizado para obtener la imagen en rayos X, que fue utilizada para realizar este trabajo:

²²En general se asocia un espectro de emisión en rayos X modelado con un modelo de cuerpo negro (emisión térmica), con la emisión de rayos X producida por el calentamiento de materia en los discos de acreción (pero se necesitan temperaturas $> 10^6 K$) o con la emisión de la componente fría de un plasma que es calentado por colisiones o por radiación.

²³En general se asocia un espectro de emisión en rayos X modelado con un modelo de ley de potencias (emisión no térmica), con la emisión de rayos X producto de la colisión de vientos estelares, radiación sincrotrón, efecto Compton inverso, etc.

Advanced CCD Imaging Spectrometer (ACIS)	
Focal plane arrays:	
I-array (ACIS-I)	4 CCDs placed to lie tangent to the focal surface, used for imaging
S-array (ACIS-S)	6 CCDs in a linear array tangent to the grating Rowland circle, used for either imaging or as a grating readout
CCD format	1024 by 1024 pixels
Pixel size	$24.0 \mu\text{m}$ (0.492 ± 0.0001 arcsec)
ACIS-I array size	16.9 by 16.9 arcmin
ACIS-S array size	8.3 by 50.6 arcmin
On-axis effective area of frontside illuminated (FI) chips (integrated over the PSF to >99% encircled energy):	
@ 0.5 keV	110 cm^2
@ 1.5 keV	600 cm^2
@ 8.0 keV	40 cm^2
Quantum efficiency for FI chips:	> 80% between 3.0 and 5.0 keV > 30% between 0.8 and 8.0 keV
Quantum efficiency for backside illuminated (BI) chips:	> 80% between 0.8 and 6.5 keV > 30% between 0.3 and 8.0 keV
Maximum readout rate per channel	$\sim 100 \text{ kpix/sec}$
Minimum row readout time	2.8 ms
Nominal frame time	3.2 sec (full frame)
Allowable frame times	0.2 to 10.0 sec
Frame transfer time	$41 \mu\text{s}$ (per row)
Point-source sensitivity	$4 \times 10^{-15} \text{ ergs/cm}^2/\text{s}$ in 10^4 s (0.4 to 6.0 keV)

Figura 23: Características de la cámara ACIS

7.2 Introducción al ajuste espectral

Al utilizar un espectrómetro para intentar obtener el espectro de una fuente, el espectrómetro no obtiene el espectro real, sino un número de fotones, llamadas cuentas (**C**), dentro de algunos canales específicos del instrumento (**I**). Así, el espectro observado se encuentra relacionado con el espectro verdadero de la fuente ($f(E)$), tal que:

$$C(I) = \int_0^{\infty} f(E) R(I, E) dE \quad (10)$$

donde $R(I, E)$ es la respuesta instrumental y es proporcional a la probabilidad de que un fotón de energía E sea detectado en el canal I (La cantidad $R(I, E)$ puede pensarse como una matriz con energías en las columnas y canales I en las filas. Un detector ideal es aquel que de una probabilidad 1 de detectar un fotón con energía E_j en el canal I_j y una probabilidad 0 de detectarlo en cualquier otro canal I_k con $k \neq j$). Idealmente, se puede determinar el espectro real $f(E)$ al invertir la ecuación 10. Lamentablemente, en general esto no es posible, debido a que dichas inversiones no son únicas para pequeños cambios en $C(I)$.

Una alternativa es intentar encontrar un modelo espectral $f(E)$ que pueda ser descripto en términos de algunos parámetros, para así, “ajustarlo” a los datos obtenidos por el espectrómetro. Para cada $f(E)$, el espectro predicho $C_p(I)$ es calculado y luego comparado con los datos observados $C(I)$. Finalmente, se realiza una prueba estadística, la cual nos ayuda a determinar si el modelo espectral elegido “ajusta” los datos obtenidos por el electrómetro.

En este trabajo se utilizó el test de χ^2 el cual está definido como:

$$\chi^2 = \sum (C(I) - C_p(I))^2 / (\sigma(I))^2 \quad (11)$$

donde $\sigma(I)$ es el error en el canal I .

7.2.1 Suposición utilizada durante el trabajo

En la ecuación (5) de la sección 5 se supuso que $\text{Flujo} = f(c/s, s, m, h, m/s)$, y que dicha función era lineal con los *count rates* (c/s). De la ecuación (10) tenemos que:

$$C(I) = \int_0^\infty f(E) R(I, E) dE \quad (12)$$

Si suponemos que $R(I, E)$ es diagonal, entonces se tiene que:

$$C(I) = cte \int_0^\infty f(E) dE \quad (13)$$

Por lo tanto, tenemos una relación lineal entre el número total de cuentas y la integral de la curva modeladora que representa al espectro, es decir, al flujo observado.

7.3 Correlación cruzada

Se tienen dos tablas con coordenadas α y δ de objetos detectados en distintas frecuencias y el objetivo es hacer una correlación cruzada para detectar posibles contrapartes. Para ello, se toman las coordenadas α_1 y δ_1 de la primer tabla, y α_2 y δ_2 de la tabla 2 y se calcula la distancia ρ entre los pares de coordenadas, es decir, se calcula:

$$\rho = \sqrt{(\alpha_1 - \alpha_2)^2 \cdot \cos^2 \delta_1 + (\delta_1 - \delta_2)^2} \quad (14)$$

y nos preguntamos si $\rho < D$, siendo D una distancia elegida bajo algún criterio. Si se cumple la desigualdad, consideramos que las fuentes son contrapartes. En caso contrario, no se dice nada.

Si las coordenadas de ambas tablas fueran exactas, es decir que $\Delta\alpha = \Delta\delta = 0$, entonces, podemos decir que las fuentes serán contrapartes si y sólo si, $\rho = 0$. Pero ese no es el caso, ya que cada una de las tablas con las que

se cuenta tiene un cierto error para cada una de las coordenadas α y δ . Por esta razón, el criterio para la elección de D debe estar basado en los errores que se propagan al calcular la distancia ρ . Supongamos que tenemos:

$$\alpha_1 + \Delta\alpha_1 \quad \delta_1 + \Delta\delta_1 \quad (15)$$

$$\alpha_2 + \Delta\alpha_2 \quad \delta_2 + \Delta\delta_2 \quad (16)$$

y queremos saber cual es nuestro error al hallar la distancia

$$\rho = \sqrt{(\alpha_1 - \alpha_2)^2 \cos^2 \delta_1 + (\delta_1 - \delta_2)^2} \quad (17)$$

pero como

$$\cos^2 \delta_1 \leq 1. \quad (18)$$

simplificaremos los cálculos del error utilizando que $\tilde{\rho} > \rho$, siendo $\tilde{\rho}$:

$$\tilde{\rho} = \sqrt{(\alpha_1 - \alpha_2)^2 + (\delta_1 - \delta_2)^2} \quad (19)$$

Y por la ley de propagación de errores, suponiendo que los valores de $\Delta\alpha_i$ y $\Delta\delta_i$ son independientes, sabemos que

$$\Delta\tilde{\rho} = \sqrt{\left(\frac{\partial\tilde{\rho}}{\partial\alpha_1} \cdot \Delta\alpha_1\right)^2 + \left(\frac{\partial\tilde{\rho}}{\partial\alpha_2} \cdot \Delta\alpha_2\right)^2 + \left(\frac{\partial\tilde{\rho}}{\partial\delta_1} \cdot \Delta\delta_1\right)^2 + \left(\frac{\partial\tilde{\rho}}{\partial\delta_2} \cdot \Delta\delta_2\right)^2} \quad (20)$$

Entonces, calculando las derivadas parciales de $\tilde{\rho}$, tenemos:

$$\frac{\partial\tilde{\rho}}{\partial\alpha_1} = -\frac{(\alpha_1 - \alpha_2)}{\sqrt{(\alpha_1 - \alpha_2)^2 + (\delta_1 - \delta_2)^2}} \quad (21)$$

$$\frac{\partial\tilde{\rho}}{\partial\alpha_2} = -\frac{(\alpha_1 - \alpha_2)}{\sqrt{(\alpha_1 - \alpha_2)^2 + (\delta_1 - \delta_2)^2}} \quad (22)$$

$$\frac{\partial\tilde{\rho}}{\partial\delta_1} = -\frac{(\delta_1 - \delta_2)}{\sqrt{(\alpha_1 - \alpha_2)^2 + (\delta_1 - \delta_2)^2}} \quad (23)$$

$$\frac{\partial\tilde{\rho}}{\partial\delta_2} = -\frac{(\delta_1 - \delta_2)}{\sqrt{(\alpha_1 - \alpha_2)^2 + (\delta_1 - \delta_2)^2}} \quad (24)$$

Sustituyendo en la ecuación 20 y simplificando se obtiene:

$$(\Delta\tilde{\rho})^2 = \frac{(\alpha_1 - \alpha_2)^2 \cdot [(\Delta\alpha_1)^2 + (\Delta\alpha_2)^2] + (\delta_1 - \delta_2)^2 \cdot [(\Delta\delta_1)^2 + (\Delta\delta_2)^2]}{(\alpha_1 - \alpha_2)^2 + (\delta_1 - \delta_2)^2} \quad (25)$$

Si ahora suponemos que el error máximo que puede tener la coordenada α es igual al error máximo que puede tener la coordenada δ , entonces, podemos decir que:

$$\Delta\alpha_1 = \Delta\delta_1 \quad (26)$$

$$\Delta\alpha_2 = \Delta\delta_2 \quad (27)$$

y por lo tanto, la ecuación 25 puede simplificarse en:

$$(\Delta\tilde{\rho})^2 = (\Delta\alpha_1)^2 + (\Delta\alpha_2)^2 \quad (28)$$

y entonces:

$$\Delta\tilde{\rho} = \sqrt{(\Delta\alpha_1)^2 + (\Delta\alpha_2)^2} \quad (29)$$

7.3.1 Precisión de los datos con los que se trabajó en las secciones 3 y 4

Trabajamos con coordenadas:

- obtenidas con el satélite Chandra:** En la sección 2.3.4 se obtuvieron las coordenadas de 444 fuentes utilizando la rutina de detección *wavdetect*. Según “Chandra Proposer’s Observatory Guide²⁴ (POG)”, la resolución espacial está limitada por el tamaño físico de los píxeles del CCD (cuadrados de $\sim 24\mu\text{m}$) y por lo tanto, el error en la posición es de ~ 0.492 segundos de arco²⁵

²⁴<http://cxc.harvard.edu/proposer/POG/>

²⁵no obstante, los errores en las coordenadas pueden, en principio, ser menores que el tamaño de los píxeles, dependiendo del brillo de la fuente.

- 2. obtenidas de la base de datos del 2MASS:** En la sección 3 hacemos la correlación cruzada entre una tabla con coordenadas obtenidas de la detección de fuentes en nuestra imagen del satélite Chandra y con una tabla de coordenadas obtenidas de la base de datos de la misión 2MASS. Esta última tabla tiene coordenadas con una precisión mayor a ~ 0.5 segundos de arco. Así, definimos:

$$\Delta\alpha_{chandra} \approx \Delta\delta_{chandra} \approx 0.5 \text{ segundos de arco} \quad (30)$$

$$\Delta\alpha_{2MASS} \approx \Delta\delta_{2MASS} \approx 0.5 \text{ segundos de arco} \quad (31)$$

y por lo tanto, la diferencia máxima de distancias que deberíamos esperar para dos pares de coordenadas sera:

$$\Delta\tilde{\rho} \approx 0.7 \text{ segundo de arco.} \quad (32)$$

Por lo tanto, haber utilizado 2 segundos de arco como límite, es equivalente a decir que utilizamos un criterio de $\sim 2.8\sigma$.

- 3. obtenidas de la tabla proporcionada por Hillenbrand *et al.*:** En la sección 4 hacemos la correlación cruzada entre una tabla con coordenadas obtenidas de la detección de fuentes de nuestra imagen del satélite Chandra con una tabla de coordenadas obtenidas del trabajo de Hillenbrand *et al.* (1993) donde las coordenadas tienen una precisión de ~ 0.3 segundos de arco. Así, definimos:

$$\Delta\alpha_{chandra} \approx \Delta\delta_{chandra} \approx 0.5 \text{ segundos de arco} \quad (33)$$

$$\Delta\alpha_{Hill} \approx \Delta\delta_{Hill} \approx 0.3 \text{ segundos de arco} \quad (34)$$

y por lo tanto, la diferencia máxima de distancias que deberíamos esperar para dos pares de coordenadas sera:

$$\Delta\tilde{\rho} \approx 0.58 \text{ segundo de arco.} \quad (35)$$

Por lo tanto, haber utilizado 1.8 segundos de arco como límite, es equivalente a decir que utilizamos un criterio de $\sim 3\sigma$.

7.3.2 Código Fortran utilizado para la correlación cruzada que se realizó en las secciones 3 y 4.

Tabla 11: Programa Fortran utilizado en las secciones (3.2) y (4.1)

```

real*8 ra(2000),dec(2000),ra1(2000),dec1(2000),dif
integer ind(2000),ind1(2000)
integer nm16,nhill
real*8 sigma,era,edec,d,ds

open(35,file="indexadas.coord")
open(36,file="m16.coord.ind")
open(37,file="cc.out")

nm16=444
nhill=1022
sigma=0.0005
do i=1,nhill
  read(35,*)ind(i),ra(i),dec(i)
enddo

do i=1,nm16
  read(36,*)ind1(i),ra1(i),dec1(i)
enddo

do i=1,nm16
  do j=1,nhill
    edec=dec(j)-dec1(i)
    era = (ra(j)-ra1(i)) * cos(edec*3.1415/180.)
    d=sqrt(era*era+edec*edec)
    ds=3600.*d
    if(d.le.sigma)then
      write(37,*)ind1(i),ind(j),ra(j),dec(j),ds
    endif
  enddo
enddo

close(35)
close(36)
close(37)
end

```

8 Agradecimientos

Tal vez esta sea la sección más difícil de empezar a escribir ya que existe muchísima gente que ha contribuido a que yo haya podido llegar hasta aquí. Empezando por Mamá, Nona, Tata, Papá, Euge e Iván que han sido las personas que han hecho de mí lo que soy, y que siempre pero siempre han estado a mi lado, en las buenas y en las malas y sin importar las distancias. A ellos, muchísimas gracias!!!!... los amo!!!.

Pero, al mismo tiempo, hay mucha gente que no se debe sentir opacada ya que han tenido un rol importantísimo en mi vida. Si no fuera por Pete, nunca hubiera empezado a estudiar astronomía y por lo tanto ustedes no estarían leyendo estas líneas (si es un agradecimiento o no, dependerá del lector); gracias a la persistencia del vasco Duronea pude preparar más finales en un año y medio de lo que me hubiera imaginado; gracias a las largas charlas con dos de mis mejores amigos, Bagú y Marito, siempre pude superar aquellos momentos de debilidad por los que pase como así también compartir esos momentos de la vida que nunca se olvidan; gracias a Mariano, José & José, la Bola, Kato, Fede, Gonzalo, Paleta, Edu, Seba y todos los otros chicos con los que pase momentos inigualables en esa cancha del club universitario donde hemos corrido kilómetros y kilómetros por más de 10 años. No puedo olvidarme del Tibu, Juan, Lucila, Lorena, el negro Blanco, Vero, Melina, Claudia, Andrea, Anahí, Ramirex y tantos otros más con los que he compartido cursadas, exámenes y nervios como también fiestas y viajes, ¿Cómo me puedo olvidar de ellos?. Sería imposible ya que gracias a todos ellos, he podido hacer lo que hice. De no haberlos tenido, mi vida no hubiera sido igual, y por lo tanto esta tesis no valdría mucho para mí. Nuevamente, muchísimas gracias a todos!!

Pero todavía esto no se termina, por que además existen muchas perso-

nas que me han ayudado muchísimo en el plano académico. Especial agradecimiento a mi directora Virpi Niemela por su confianza en estos últimos años, siendo gracias a ella que tuve la oportunidad de viajar a Brasil para participar del “*Regional Workshop for Latin American Astronomers - DATA PROCESSING FROM THE CHANDRA AND XMM-NEWTON SPACE MISSIONS*”, y así tener la oportunidad de conocer a Mariano Mendez, quien me introdujera en el tema de los rayos X y quien a través de sus largos mails, me ayudara a hacer esta tesis de licenciatura. Fue invaluable su ayuda en este trabajo. A ellos dos, muchísimas gracias.

Diego

31/10/03

El éxito consiste en obtener lo que se desea.

La felicidad, en disfrutar lo que se obtiene.

Ralph Waldo Emerson

9 Referencias

- **Albacete Colombo *et al.*** - “XMM-Newton X-ray observations of the Carina Nebula” (2003, MNRAS - *In press*).
- **Barba *et al.*** - “Active Star Formation in the N11B Nebula in the Large Magellanic Cloud: A Sequential Star Formation Scenario Confirmed” (2003AJ....125.1940).
- **Corcoran *et al.*** - “The Carina Nebula in X-rays” (1995RMxAC...2...97).
- **Dorland & Montmerle** - “Hollow H II regions. II - Mechanism for wind energy dissipation and diffuse X-ray emission” (1987A&A...177..243).
- **Evans *et al.*** - “Chandra Observations of Associates of η Car: I. Luminosities” (astro-ph/0301485).
- **Feigelson *et al.*** - “X-ray emitting young stars in the orion nebula” (2002ApJ...574.258).
- **Freeman *et al.*** - “A Wavelet-Based Algorithm for the Spatial Analysis of Poisson Data” (2002ApJS..138..185).
- **Gehrels, N.** - “Confidence limits for small numbers of events in astrophysical data” (1986ApJ...303..336)
- **Getman *et al.*** - “Chandra study of young stellar objects in the NGC 1333 star-forming cloud” (2002ApJ...575.354).
- **Gorenstein, P.** - “Empirical relation between interstellar X-ray absorption and optical extinction” (1975ApJ...198...95).
- **Hanson *et al.*** - “The young massive stellar objects of M17” (1997ApJ...489.698).

- **Hillenbrand *et al.*** - “NGC 6611: A cluster caught in the act” (1993AJ....106.1906).
- **Kaastra** - “An X-Ray Spectral Code for Optically Thin Plasmas” (J.S. 1992 - Internal SRON-Leiden Report, updated version 2.0).
- **Lada & Adams.** - “Interpreting infrared color-color diagrams: circumstellar disks around low- and intermediate-mass young stellar objects” (1992ApJ...393..278).
- **Mewe *et al.*** - “Calculated X-radiation from optically thin plasmas. V” (1985A&AS...62..197).
- **Mewe *et al.*** - “Calculated X-radiation from optically thin plasmas. VI - Improved calculations for continuum emission and approximation formulae for nonrelativistic average Gaunt factors” (1986A&AS...65..511).
- **Moffat *et al.*** - “Galactic Starburst NGC 3603 from X-Rays to Radio” (2002ApJ...573..191).
- **Skinner *et al.*** “A deep chandra X-ray observation of the embedded young cluster in NGC 2024” (astro-ph/0306566)
- **Rieke & Lebofsky** - “The interstellar extinction law from 1 to 13 microns” (1985ApJ...288..618).
- **Rubio *et al.*** - “Infrared Observations of Ongoing Star Formation in the 30 Doradus Nebula and a Comparison with Hubble Space Telescope WFPC 2 Images” (1998AJ....116.1708).
- **Townsley *et al.*** - “Ten million degree gas in M17 and the rosette nebula: X-ray flows in galactic HII regions” (astro-ph/0305133).

- **Wolk *et al.*** - "Discovery of Nonthermal X-Ray Emission from the Embedded Massive Star-forming Region RCW 38" (2002ApJ...580L.161).
- **Yusef-Zadeh *et al.*** - "Detection of X-Ray Emission from the Arches Cluster near the Galactic Center" (2002ApJ...570..665).